

Генеральная Ассамблея МАС

Вена, 20-31 августа 2018

Общенародные события:

- Новое руководство – 3(!) женщины
- Закон Хаббла переименован в закон Хаббла-Леметра
- Следующая ГенАссамблея (2021) – в Южной Корее
- Выбрано место для ГенАссамблеи 2024 года – это Кейптаун (ЮАР)
- В 2019 году – 100-летие МАС; дан старт празднествам.

Научные события:

- Симпозиумы МАС №343-349.
- 15 «фокус-митингов» - до 3 дней. заседаний, практически это симпозиумы.
- 9 двухдневных собраний подразделений.
- Приглашенные пленарные лекции – про грав. волны, «галактики в 3D» (Лиза Кьюли) и формирование планет; еще две смежные лекции по поводу второй замкнутой орбиты звезды S2 в центре Галактики.

Фокус-митинг «Угловой момент галактик»

- В основном, конечно, модельеры;
- Но есть и наблюдательные результаты:
 - второй релиз SAMI (1559 галактик);
 - вращение на больших радиусах по результатам обзора SLUGGS, и вот-вот обещают опубликовать результаты ePN.S (33 галактики): по крайней мере 40% триаксиальны!
 - Обзоры нейтрального водорода, в том числе в карликах (Ченгалур, Murugesan).

По поводу модельеров:

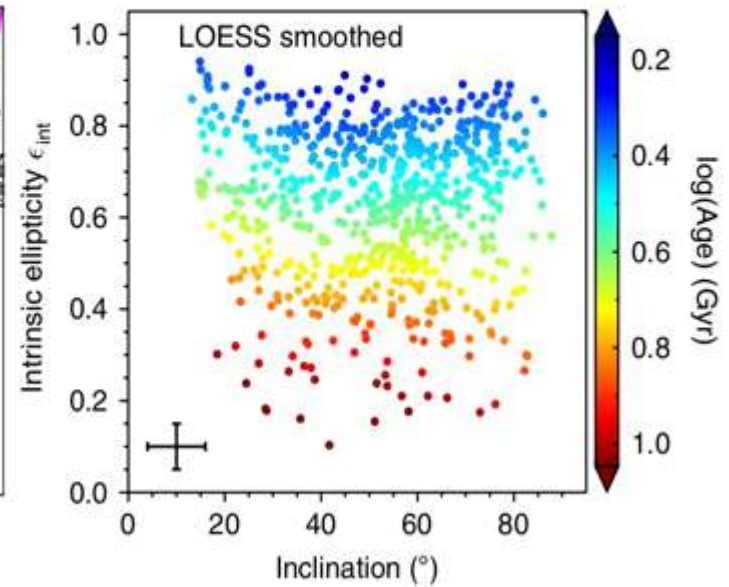
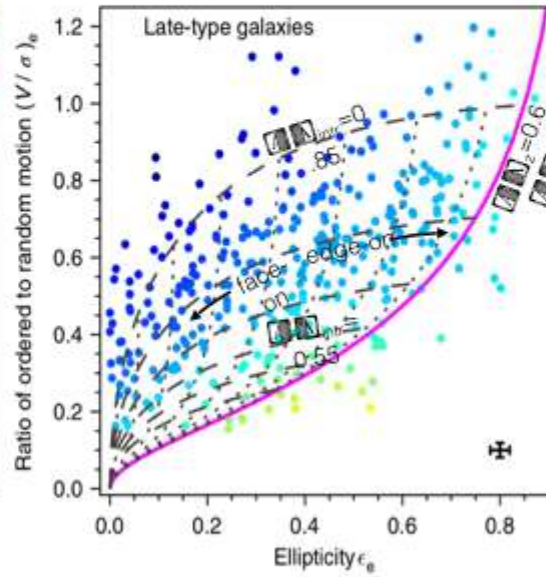
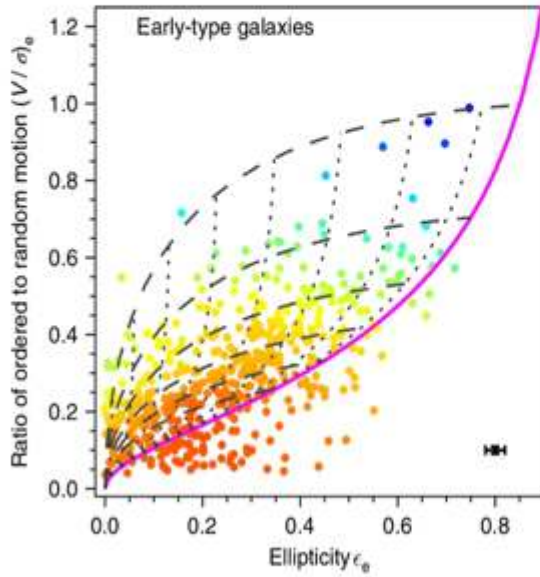
- Отличная цитата из Patricia Sanchez-Blazquez: “Models and cosmological simulations are able to reproduce the mass trends, but the physical processes remain unknown”.

SAMI: Colless

ASTRO 3D

$\lambda_R - \epsilon$ and stellar population age

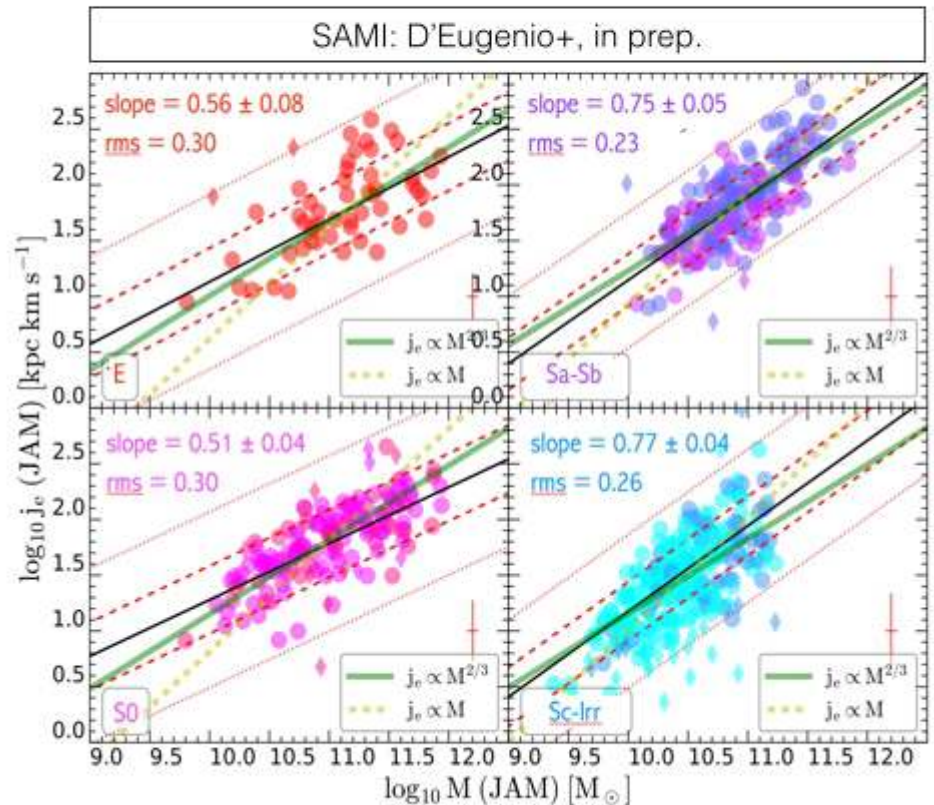
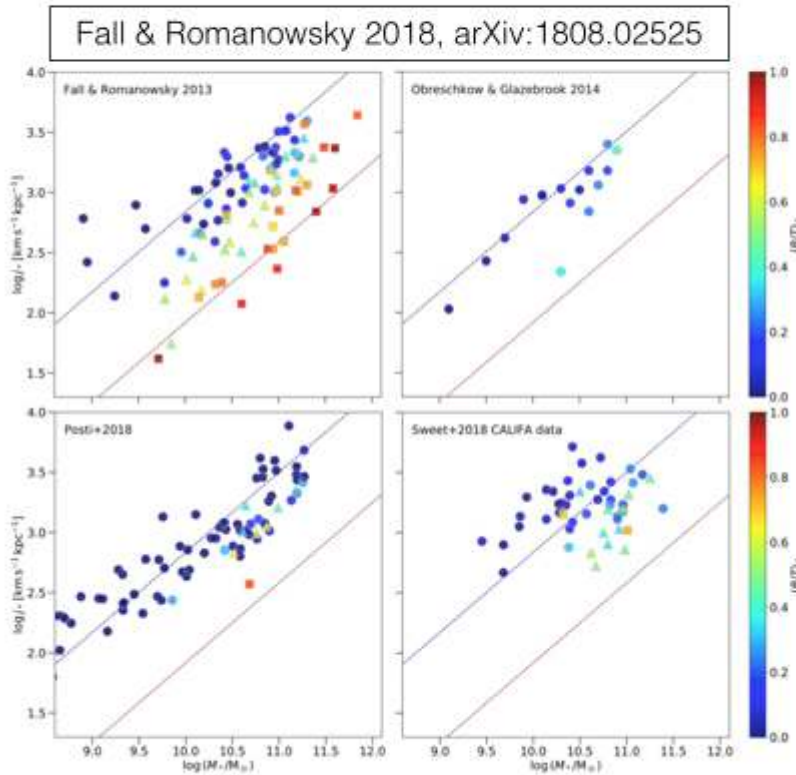
SAMI: van de Sande+ 2018, Nature Astronomy, 2, 483



SAMI: Colless



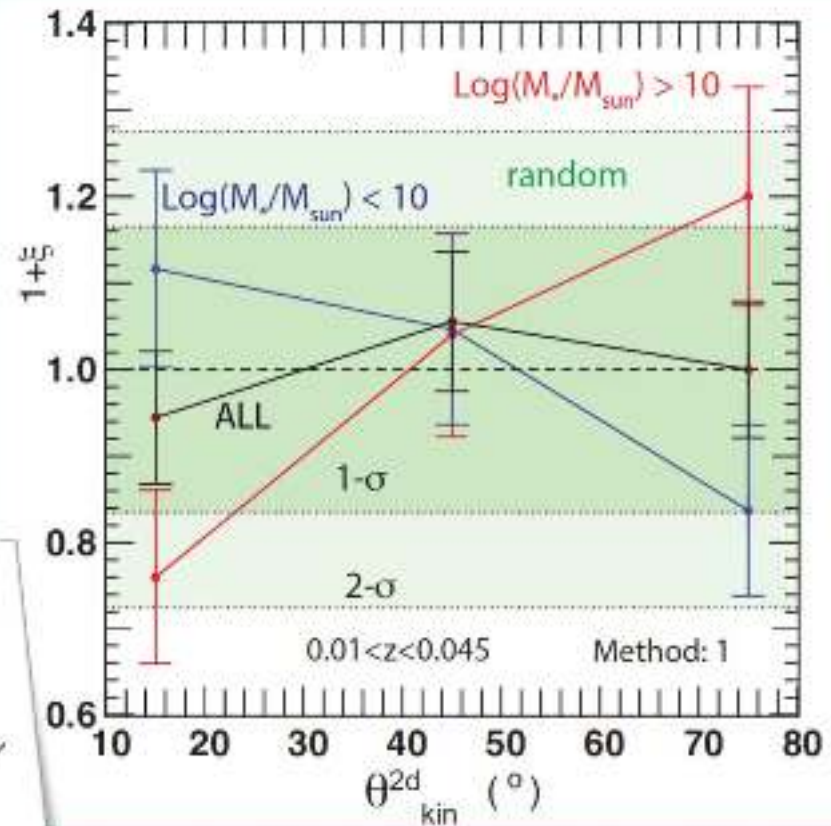
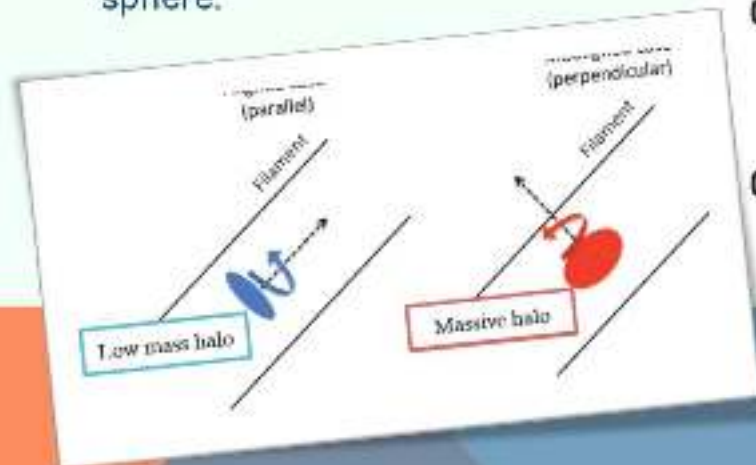
$M_* - j_*$ relation and morphological type



SAMI: отношение к филаментам

FIRST DETECTION OF SPIN ALIGNMENTS IN SAMI

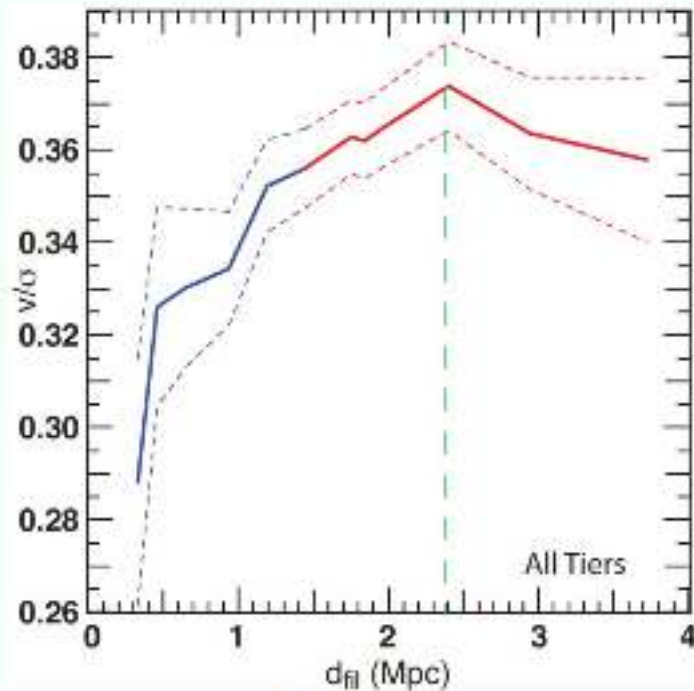
- I. Identification to the nearest filament is performed in 3D
- II. Angle between galaxy position angle and filament projected on the sphere.



- ✓ Low mass galaxy spins better aligned with their local cosmic filament
- ✓ Higher mass galaxy spins more orthogonal

SAMI: отношение к филаментам

V/σ VS. DISTANCE TO FILAMENT



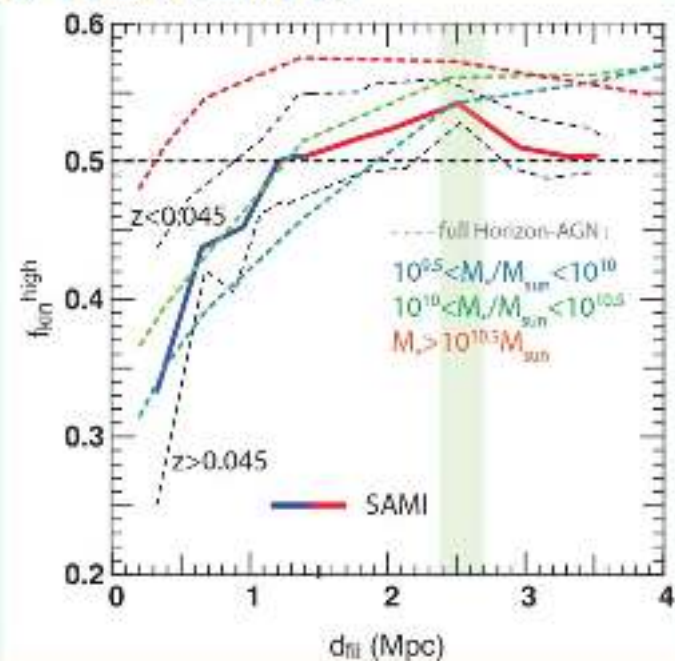
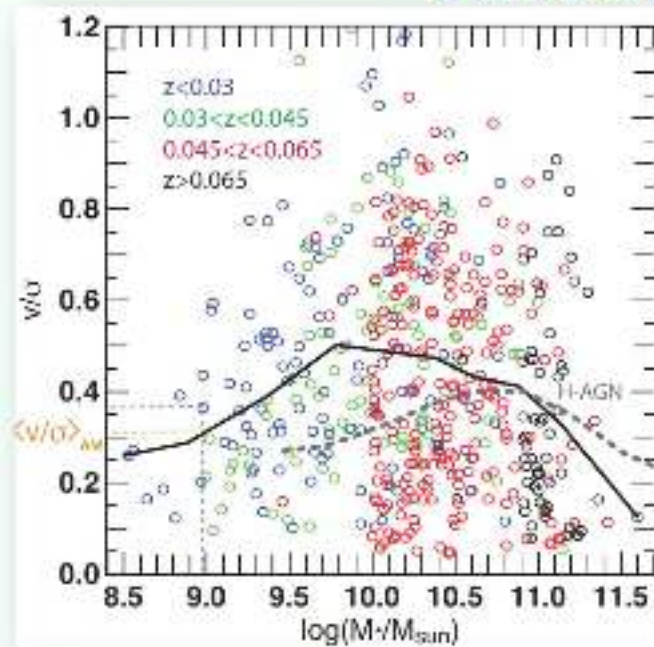
Average v/s decreases towards the spine of the filament.

- ✓ Reproduced in all redshift tiers.
- Seems to peak/plateau around 2-3 Mpc away from filaments
- An effect of stellar mass?

Use of increasing/decreasing size embedded bins To make up for small statistics.

Отражение сегрегации по массам?

FRACTION OF FASTER THAN AVERAGE ROTATORS VS. DISTANCE TO FILAMENTS.

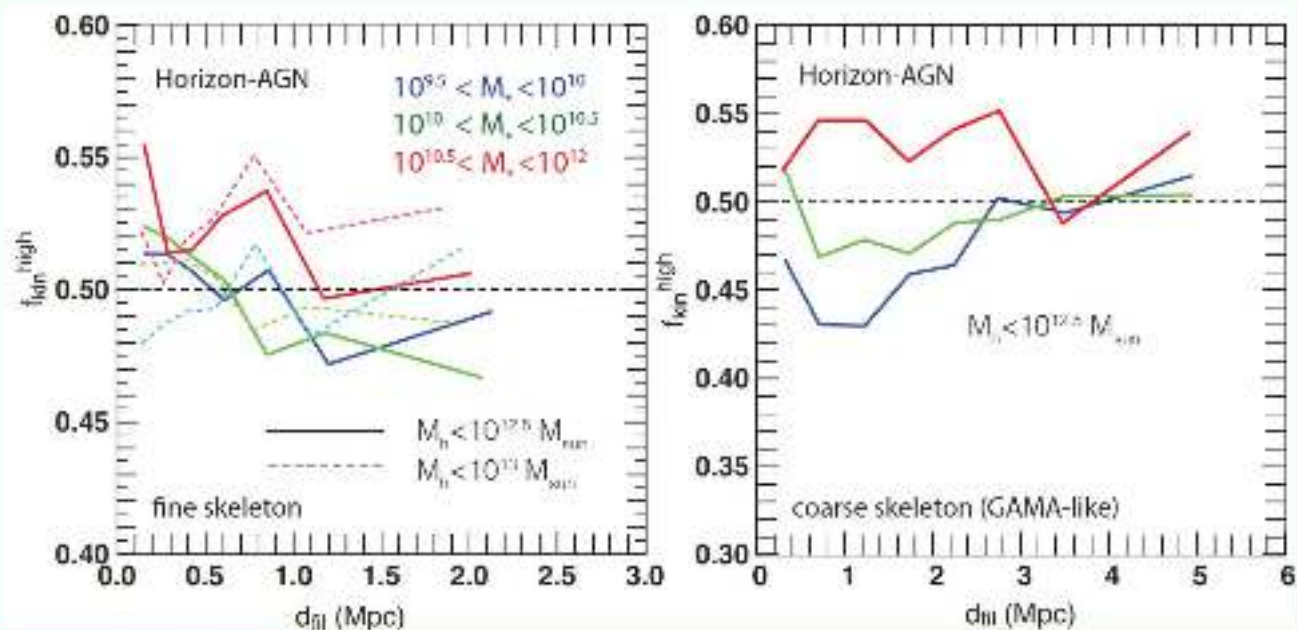


□ For each galaxy: interpolate the median v/σ for its mass: $\langle v/\sigma \rangle_{\text{HM}}$

□ $f_{\text{kin}} = N(v/\sigma > \langle v/\sigma \rangle_{\text{HM}}) / N_{\text{HT}}$

Во всяком случае, теория НЕ предсказывает такой НЕМОНОТОННОСТИ

EVOLUTION AROUND DIFFERENT TYPES OF FILAMENTS



- ✓ The inversion of slope around both types of filaments is predicted for f_{kin} galaxies in low-mass haloes in Horizon-AGN

Фокус-митинг «Градиенты металличности»

- Новость (для меня, по крайней мере):
рассосался излом градиента металличности
по цефеидам в окрестности Солнца. ЕГО
больше НЕТ.
- Астросейсмология красных гигантов → массы
→ возраста → эволюция градиента
металличности:
 - APOGEE+Gaia: эволюции НЕТ
 - LAMOST: в толстом диске нет градиента
металличности, в тонком -0.12 dex/kpc
 - Последнее подтверждается рассеянными
скоплениями (Gaia-ESO)

Фокус-митинг «Градиенты металличности» - а не Milky Way?

- Berg: Отличный обзор CHAOS: multi-object на LBT, полный диапазон с разрешением 2000, близкие галактики, до 50-100 HII-областей на галактику.
- Температуру измеряют по [NII] или [SII] – кислород не годится на (суб)солнечных металличностях, там линия железа проецируется на 4363Å.
- НЕТ градиента металличности в M51.

Специально для Вани Каткова:

- Пытаясь промоделировать формирование арахисообразного балджа в нашей Галактике секулярной эволюцией, Frakoudi пришла к выводу, что можно это сделать ТОЛЬКО стартуя с ТРЕХ дисков – одного тонкого и двух(!) толстых, с вертикальными шкалами 400 и 800 пк и единой радиальной шкалой 2 кпк.

Отделение J: скопления галактик

- Продолжаются открытия скоплений галактик на красных смещениях >1 .
- Свежее определение массы по слабому линзированию для SpARCSJ1049 ($z=1.7$): 3.8×10^{14} масс Солнца.
- Начались обзоры с KMOS полей скоростей и темпов звездообразования в H-alpha для галактик скоплений на $z=1.39, 1.47$.

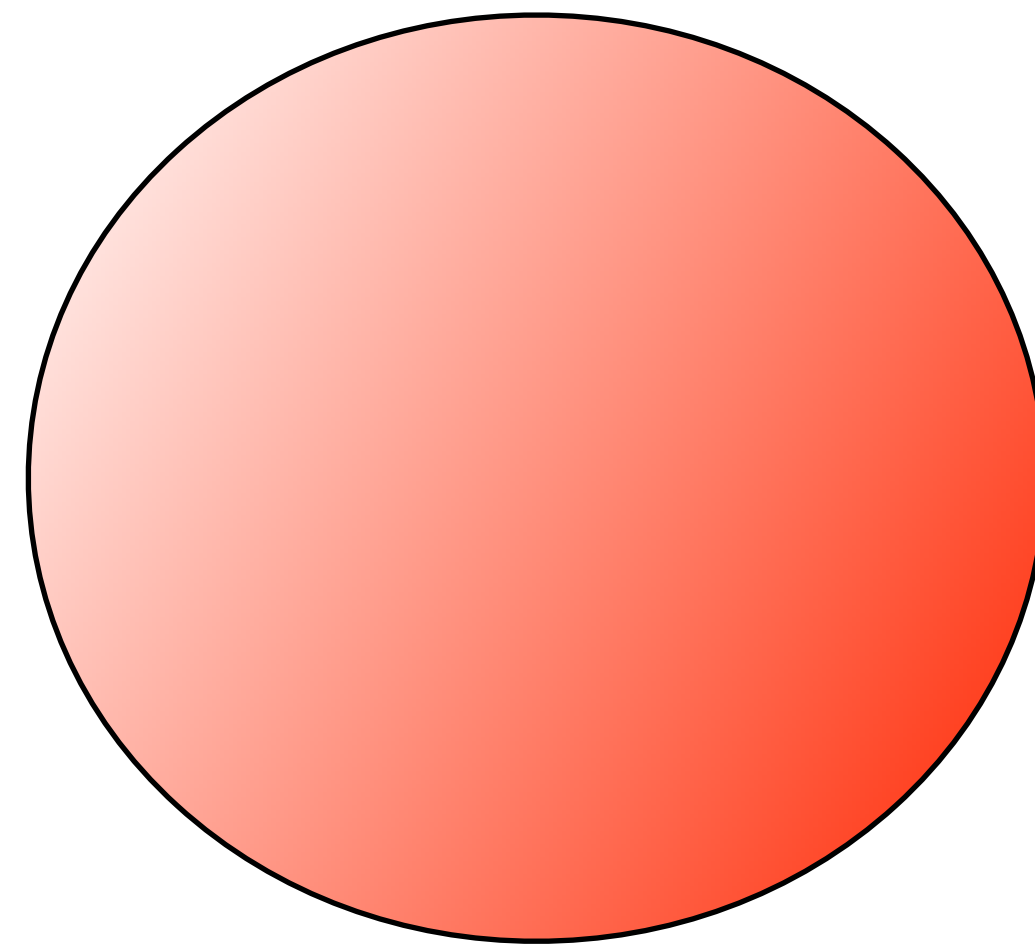
Angular momentum in the gas that builds galaxies

James Bullock (UC Irvine)

Kyle Stewart, Shea Garrison-Kimmel

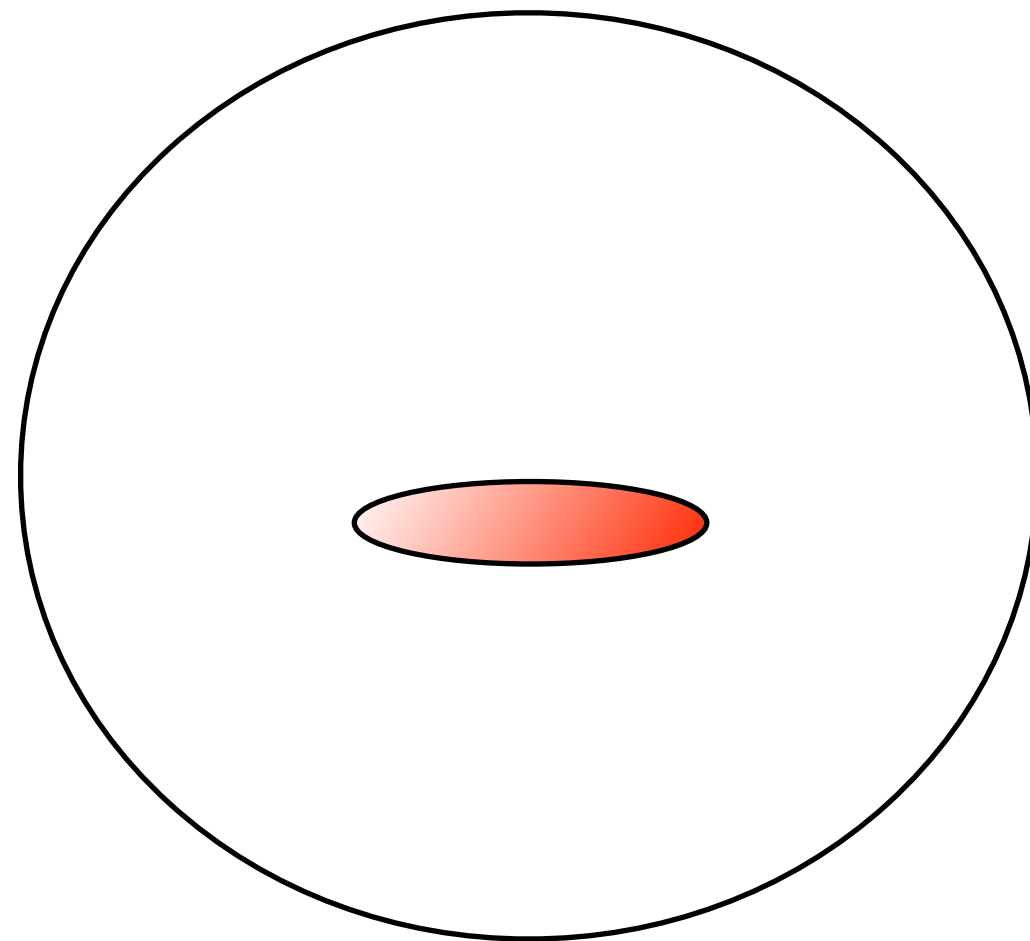
Cartoon of Galaxy Formation

Shock-heated hot gas traces the extended DM halo.



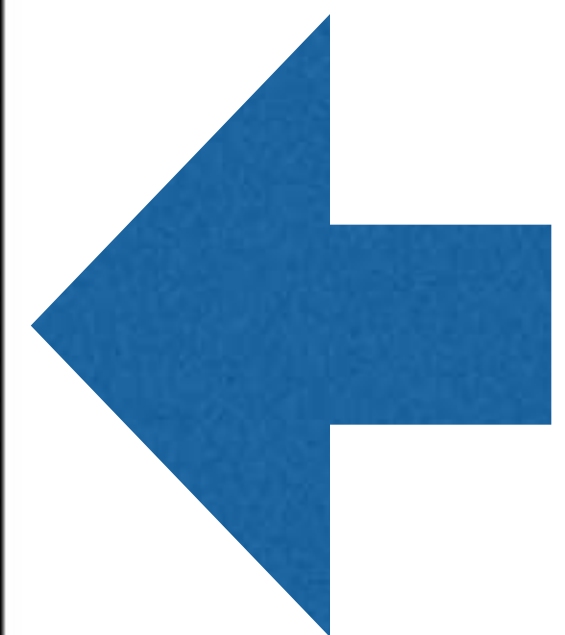
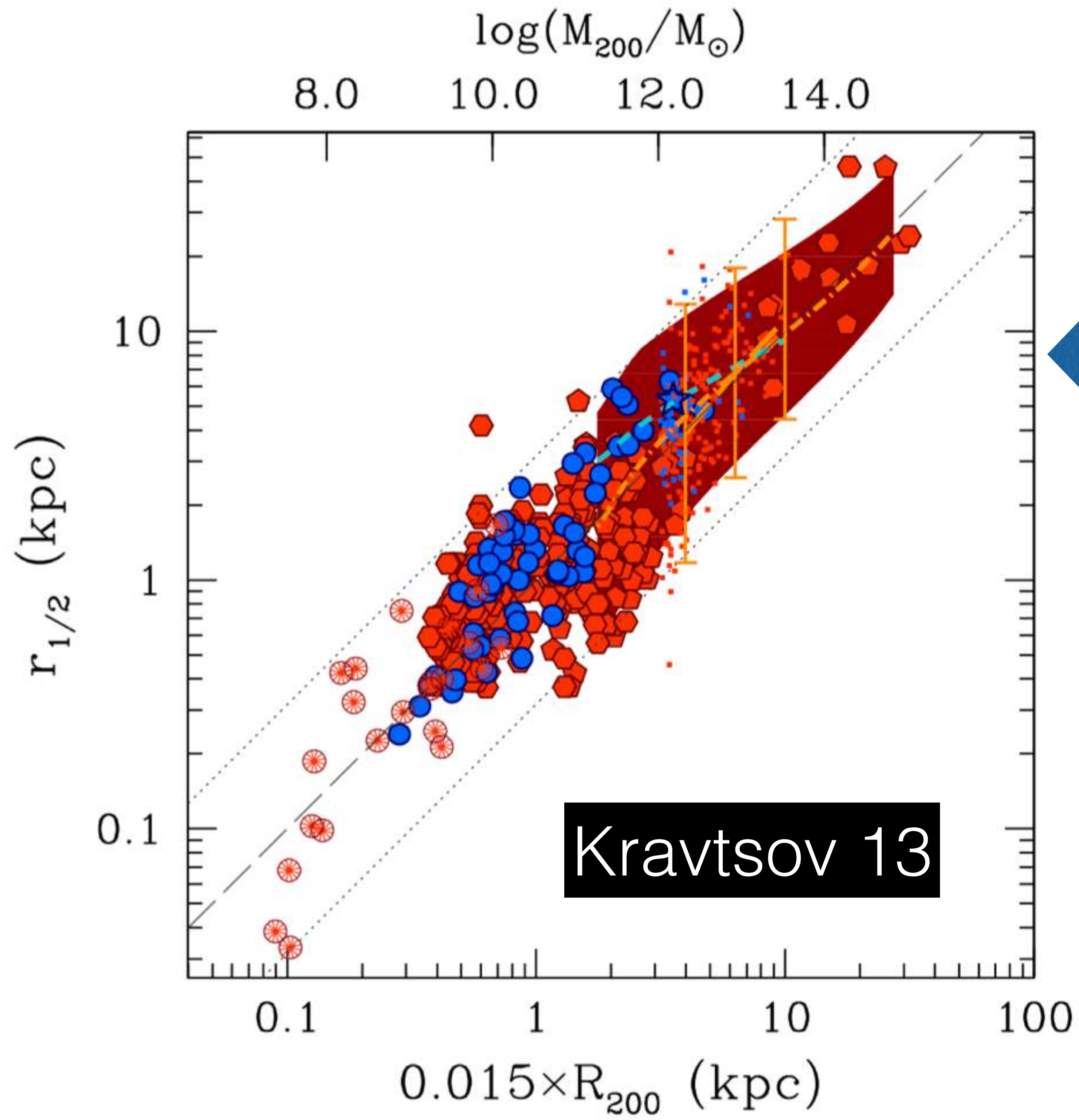
$$\lambda \equiv \frac{J\sqrt{E}}{GM^{5/2}} \simeq \frac{j}{\sqrt{2}VR} \simeq 0.03$$

Gas cools to form angular-momentum supported disk



$$r_d \simeq \lambda R_v \sim 5\text{kpc}$$

e.g. White & Rees 78; Fall & Efstathiou 80; Mo, Mao & White 97; ...



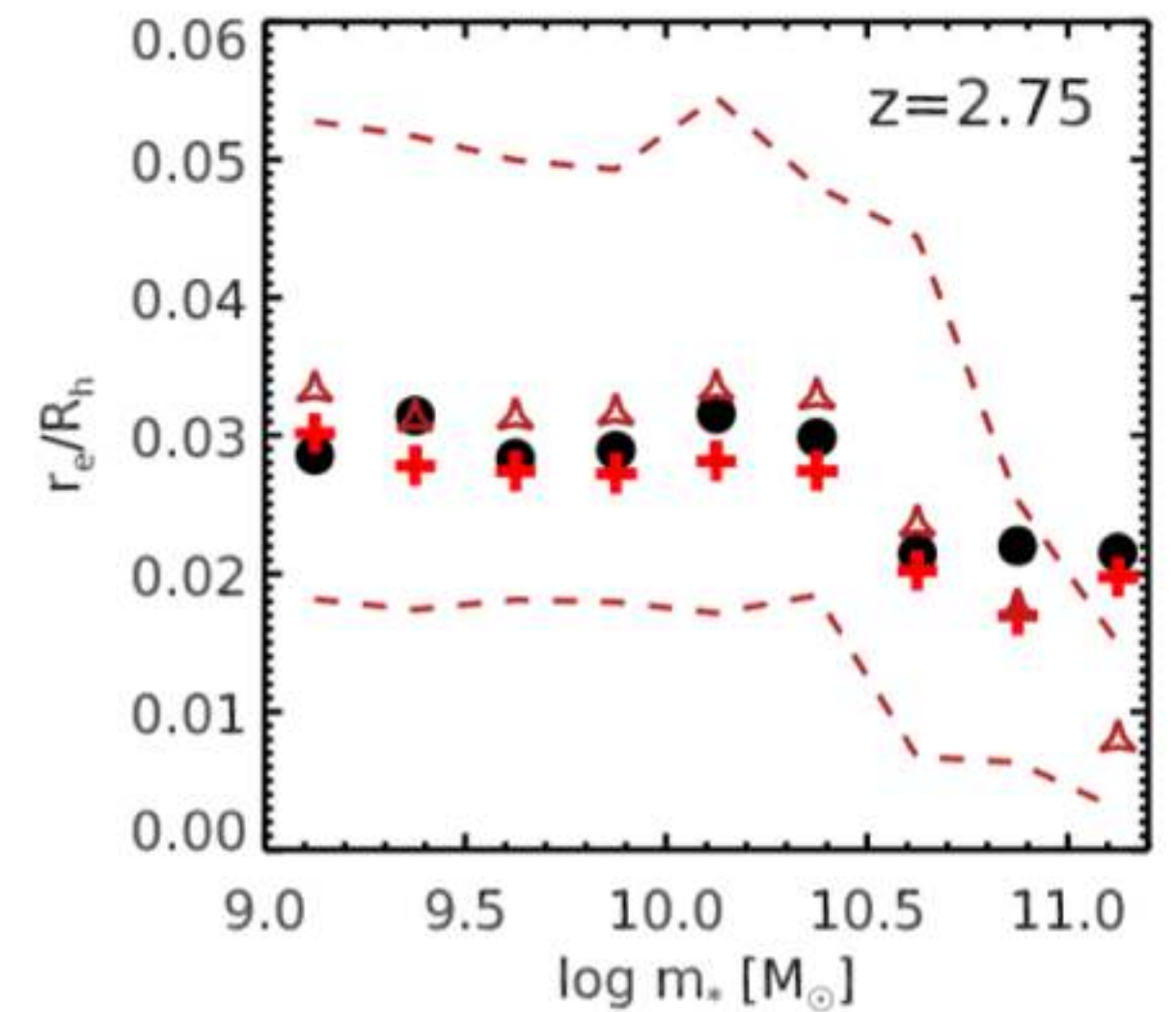
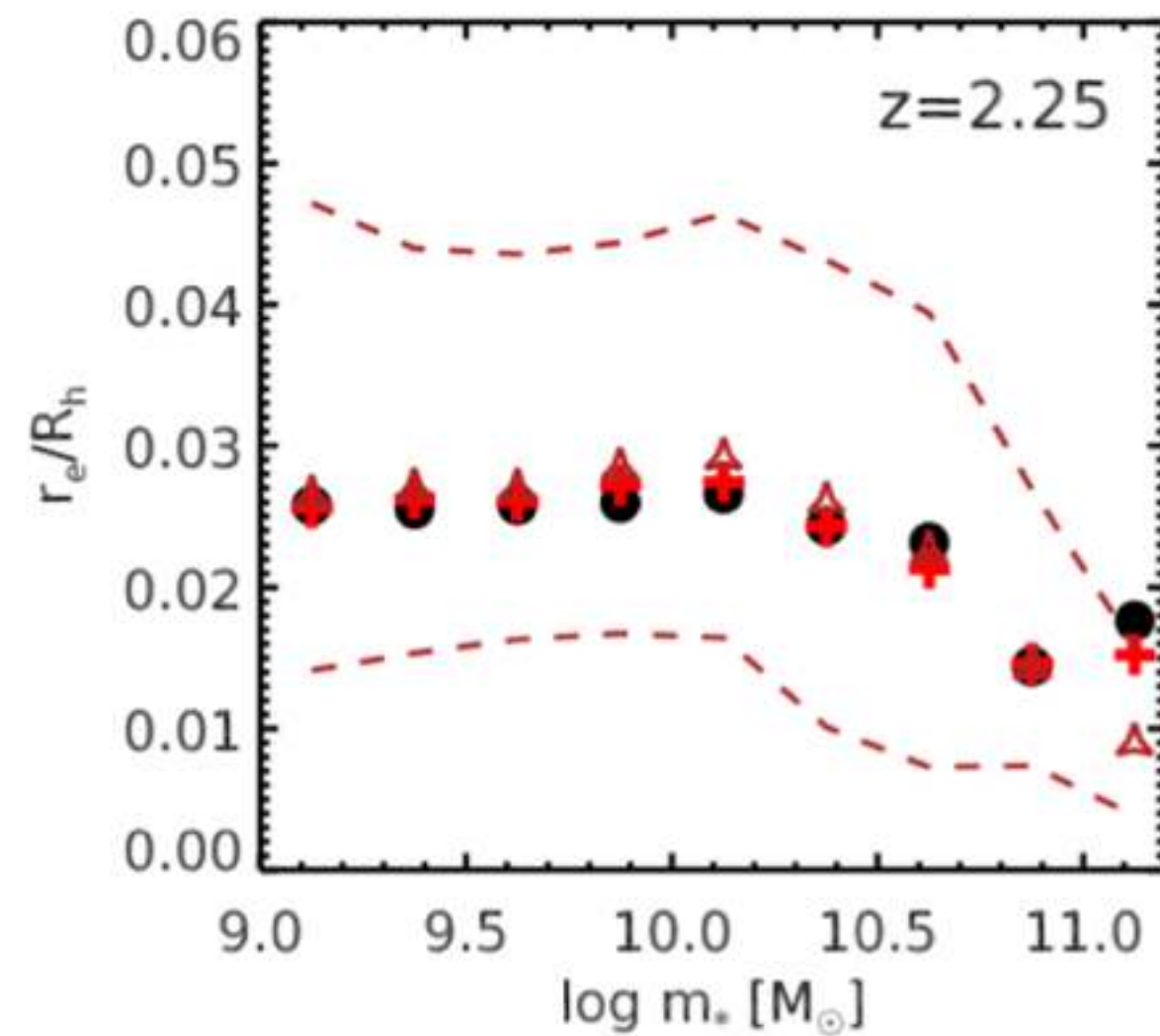
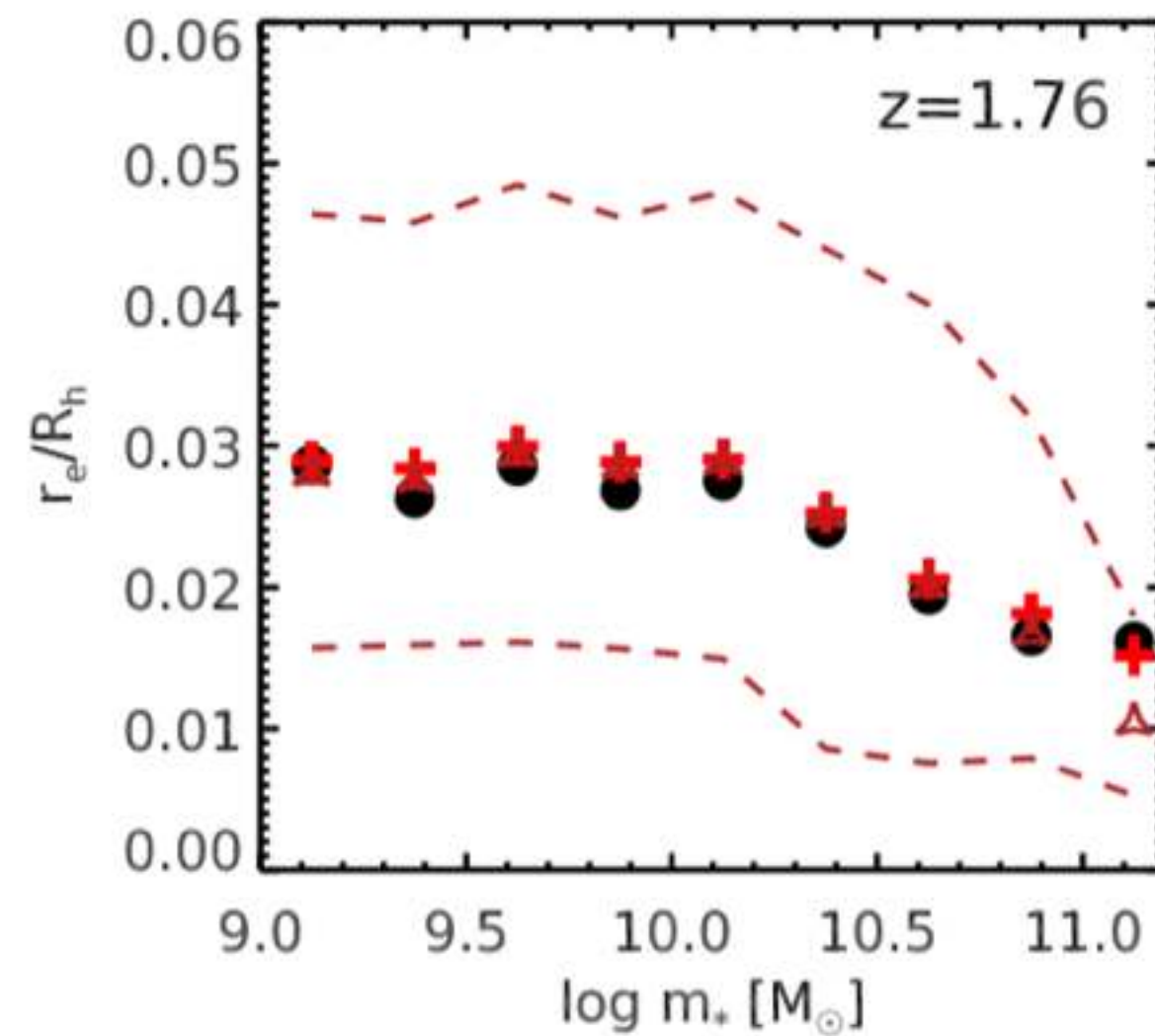
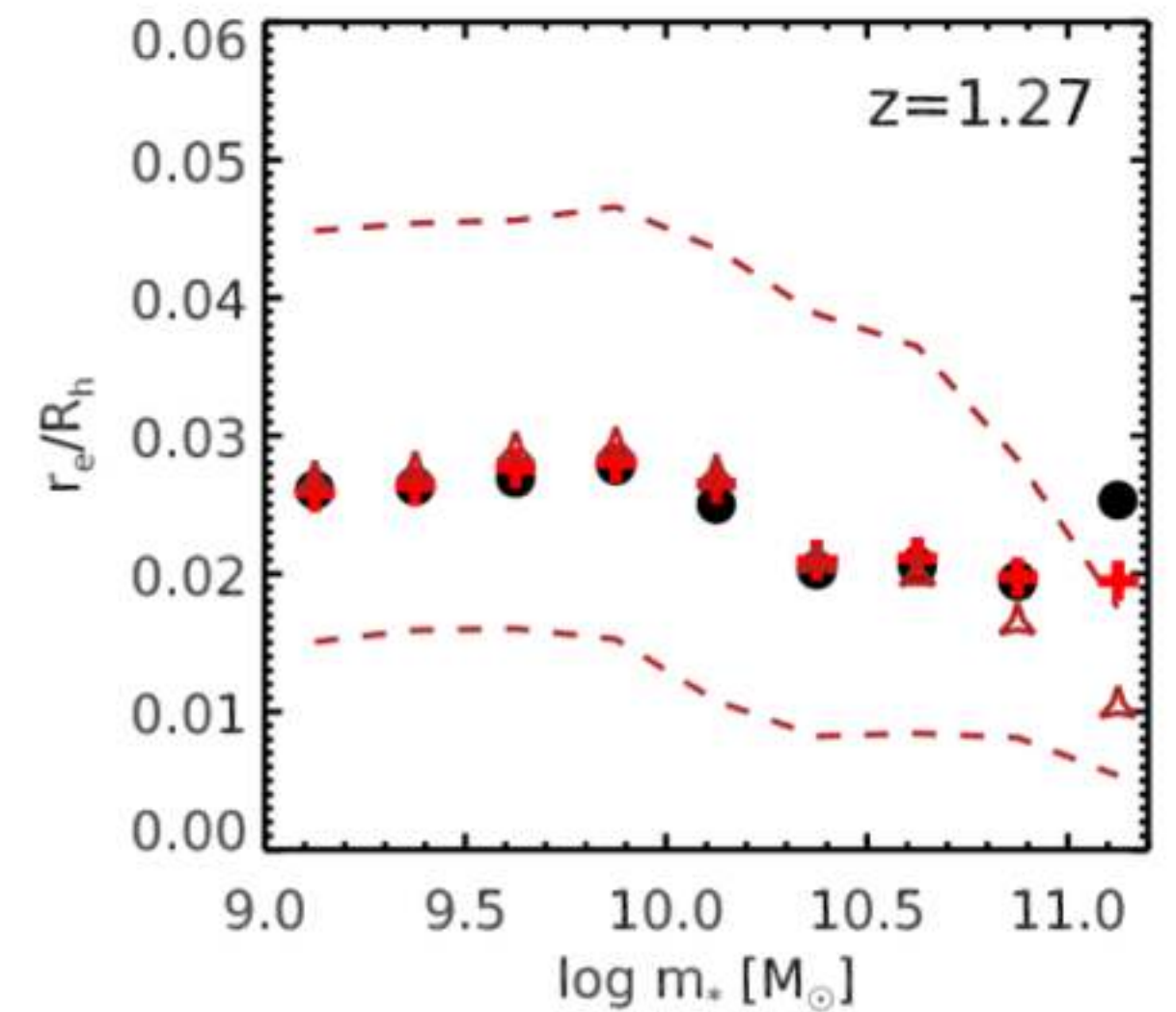
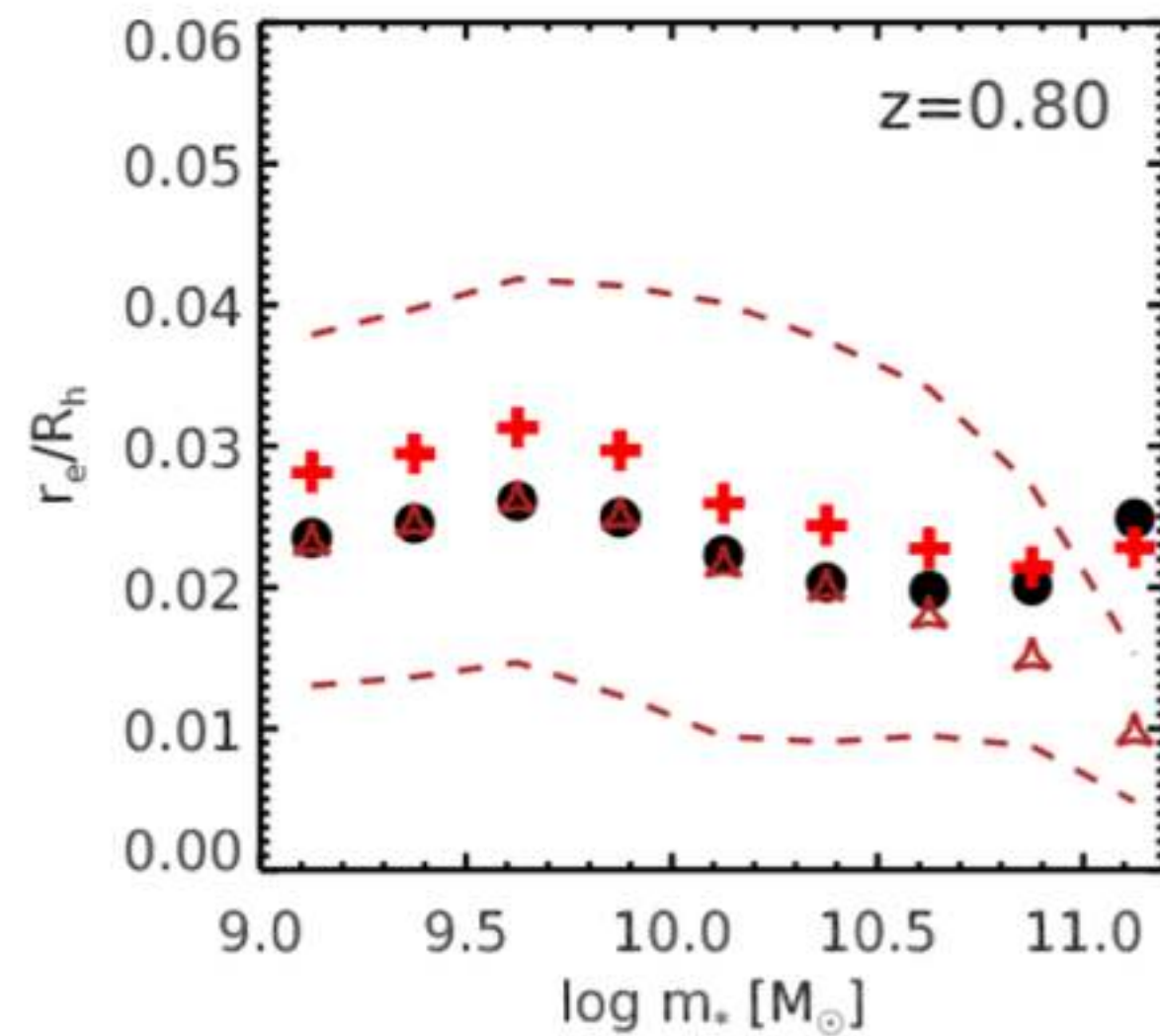
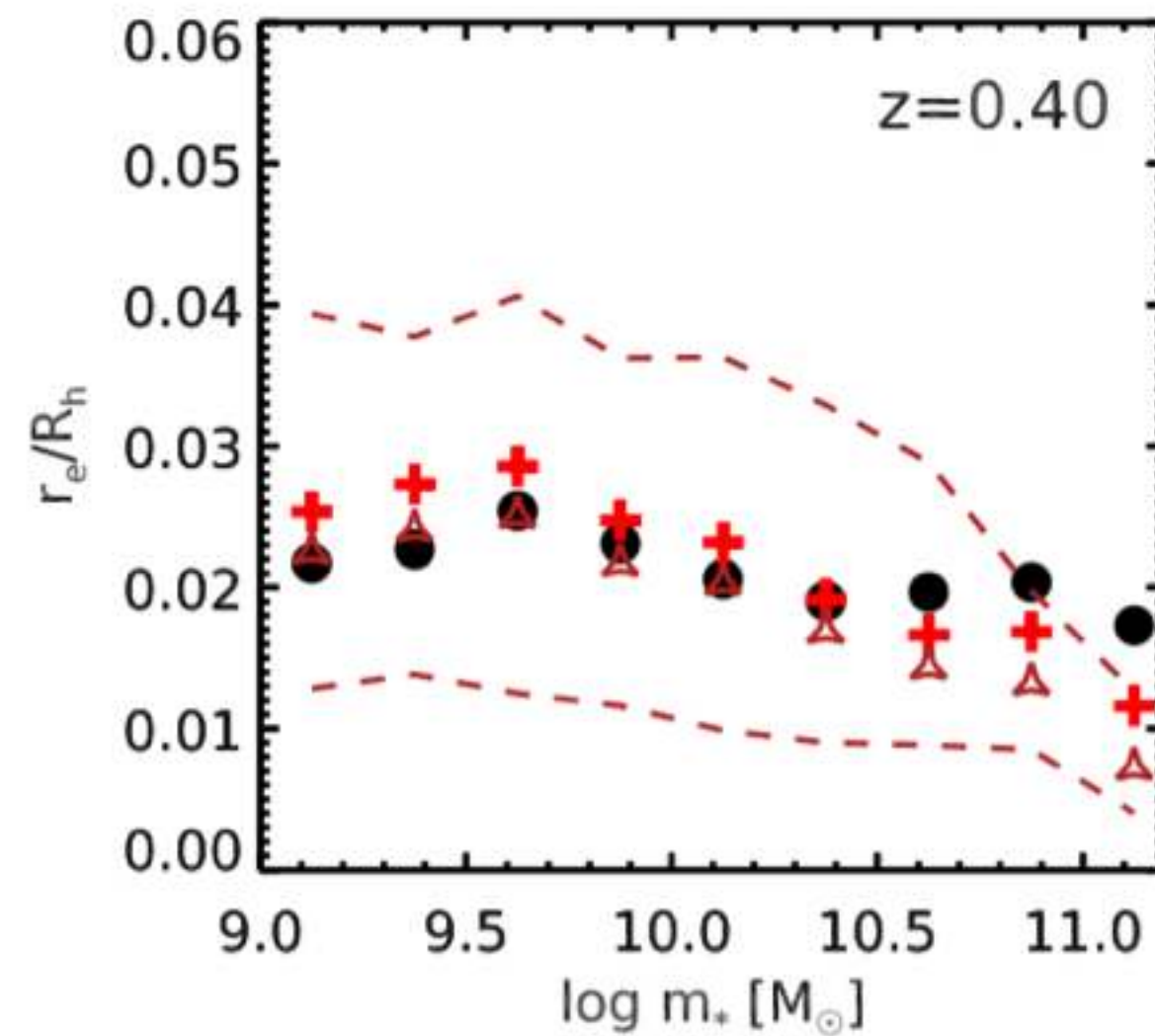
Important,
empirical trend

$$r_d \simeq \lambda R_v$$

Evidence that this picture is correct?

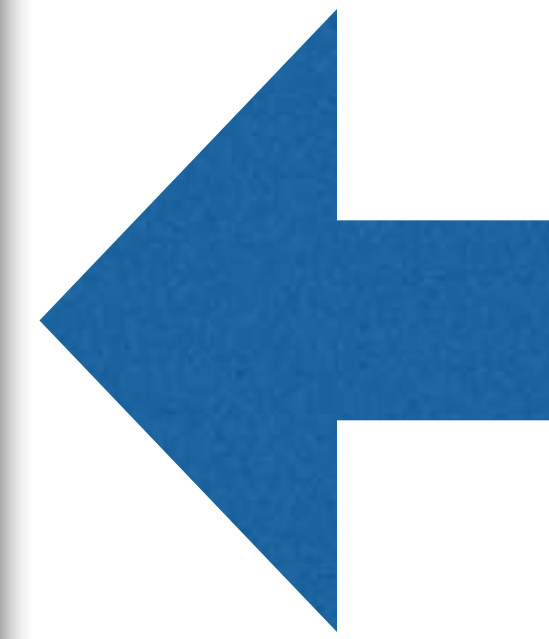
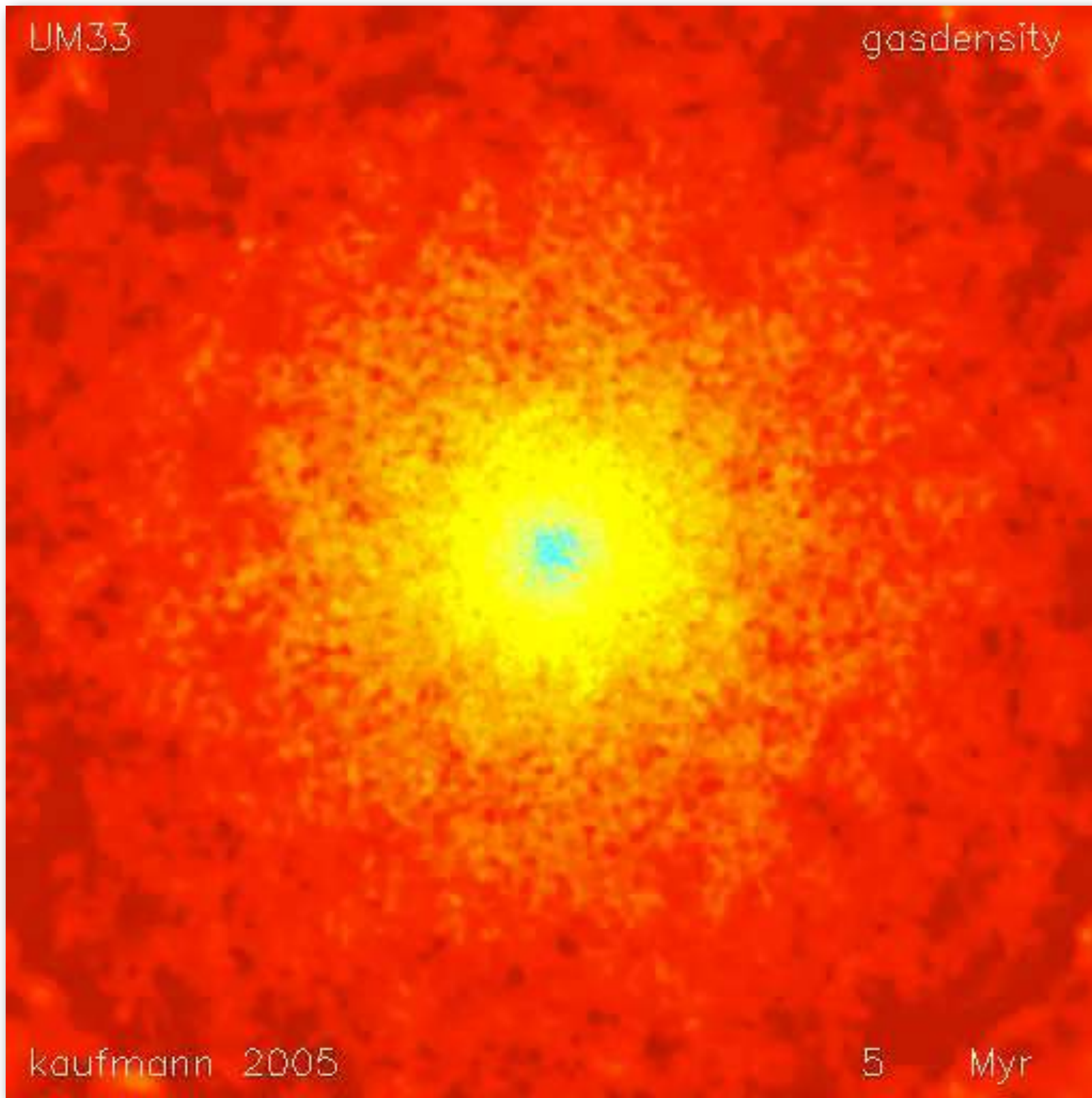
Higher redshift too!

$$r_d \simeq \lambda R_v$$



Somerville+17

50 kpc



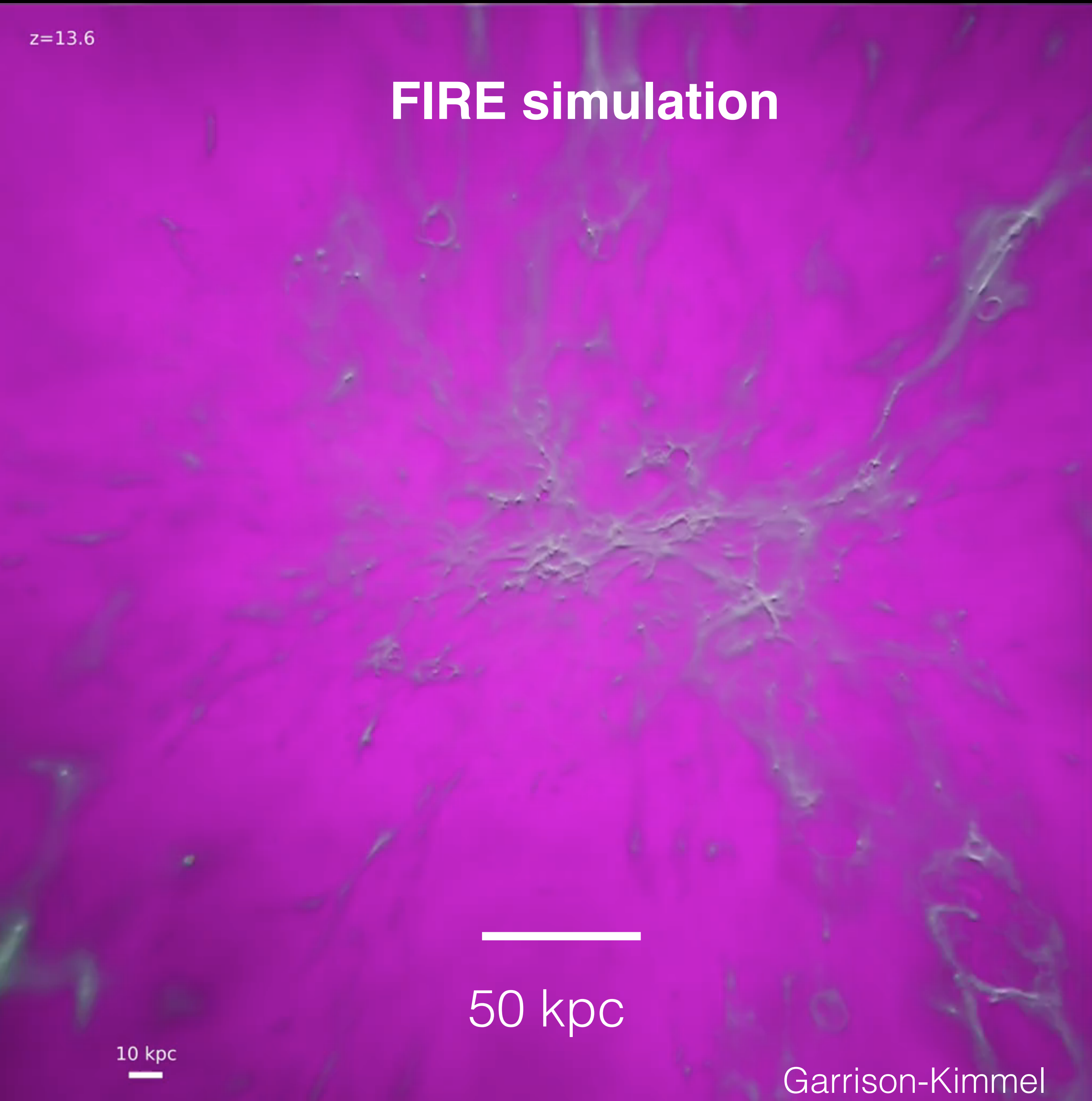
$$r_d \simeq \lambda R_v$$

One problem...

-This isn't how
(we think)
galaxies form

$z=13.6$

FIRE simulation

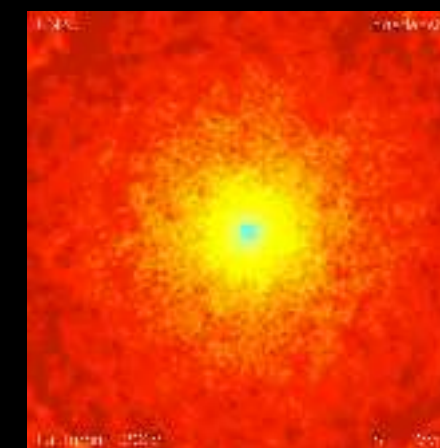


10 kpc

50 kpc

Garrison-Kimmel

Cartoon simulation

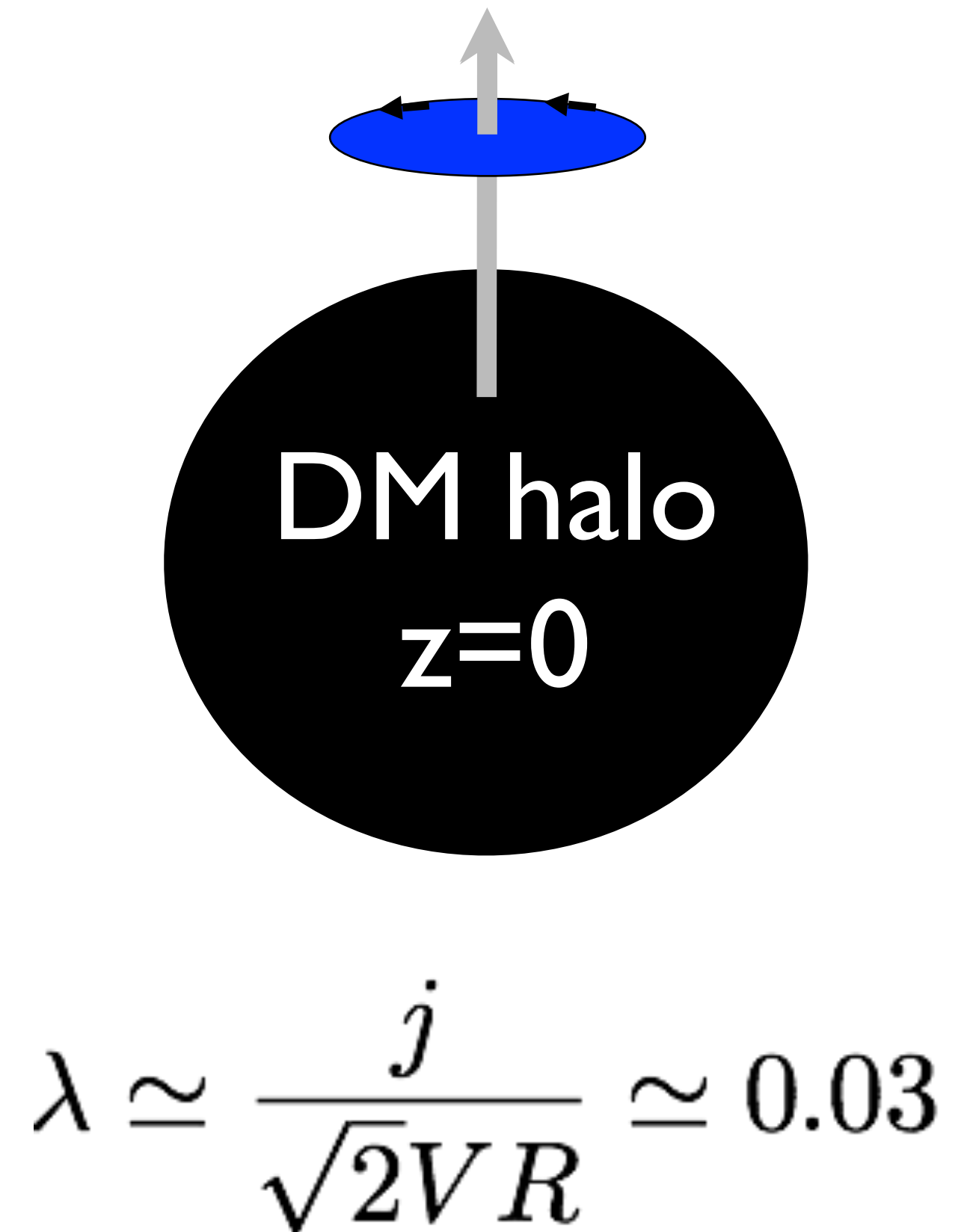
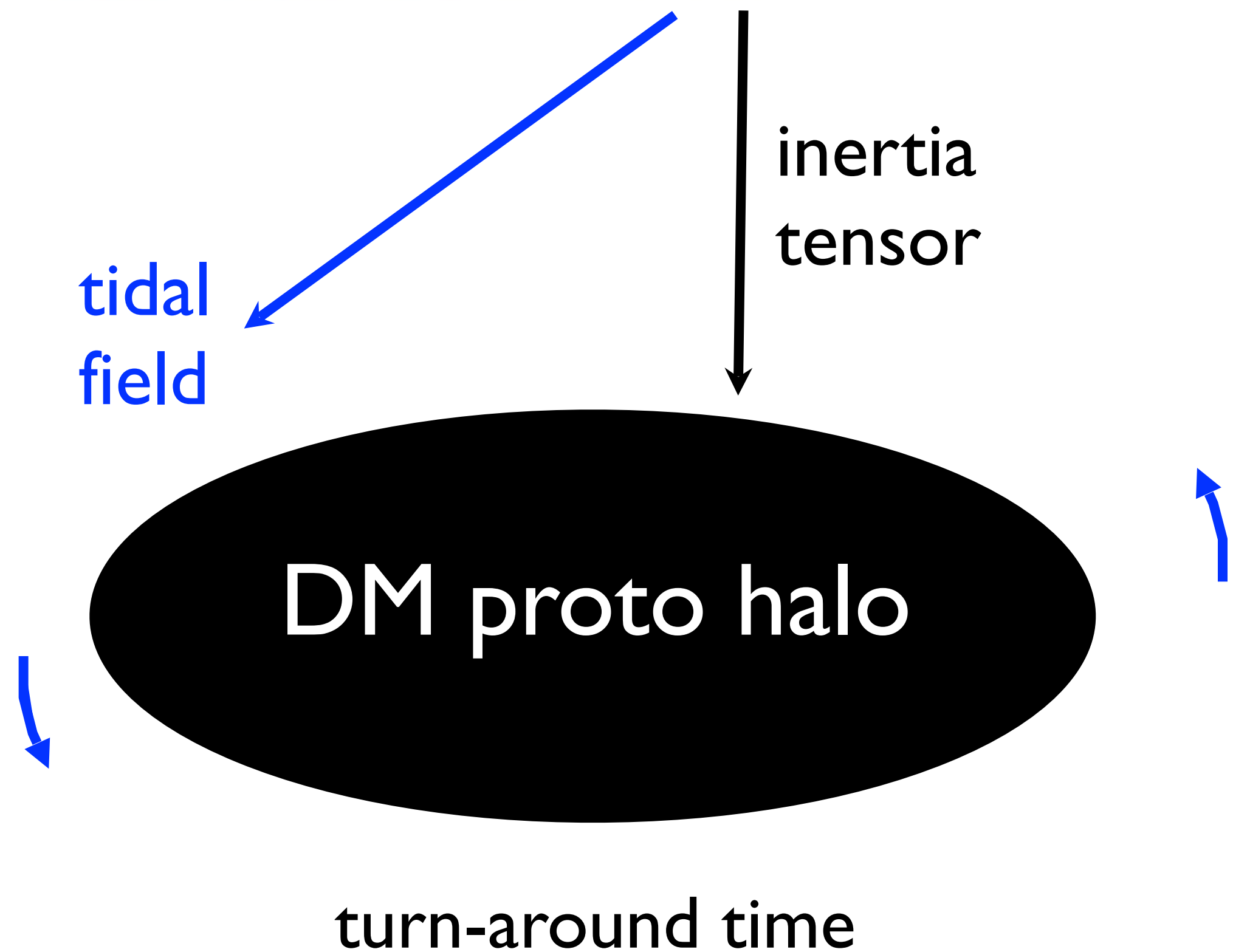


50 kpc

What's the angular momentum
of cold/accreting gas?

How dark matter gets its spin

$$J_i(t) = a(t)^2 \dot{D}(t) \epsilon_{ijk} T_{jl} I_{lk}$$



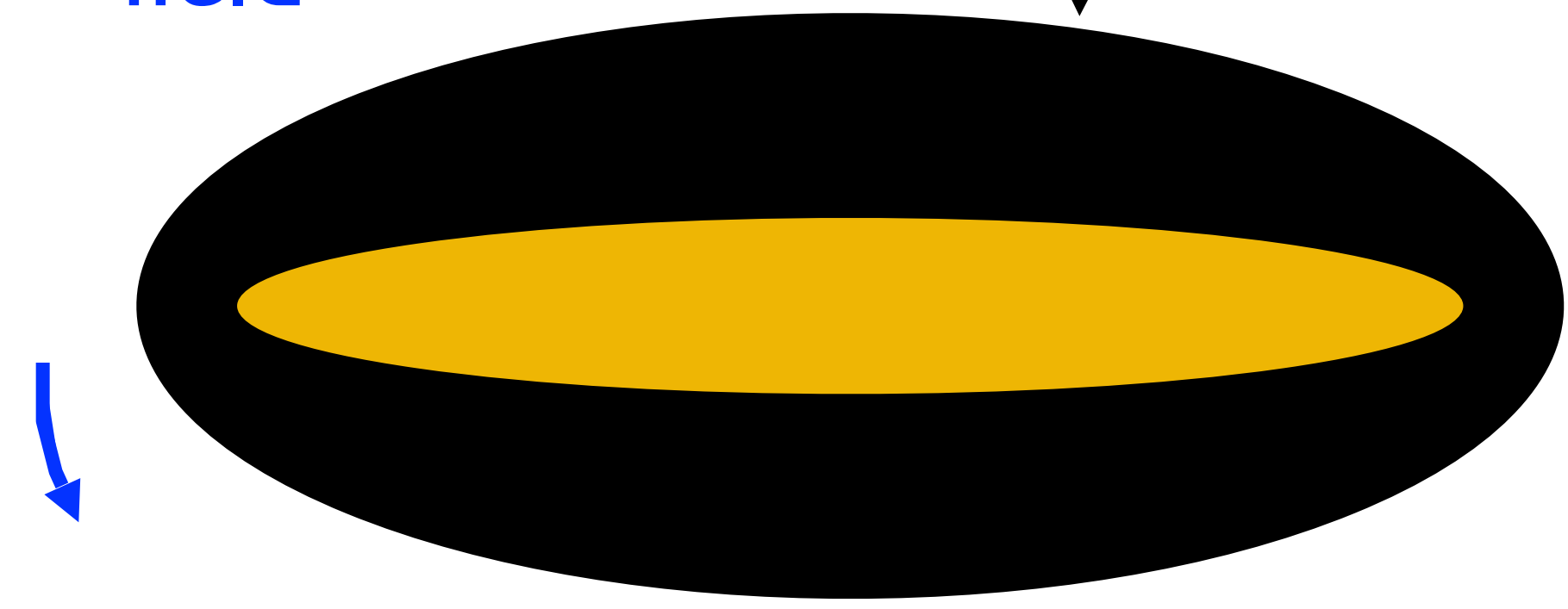
Peebles (1969); Doroshkevich (1970); White (1984)

Cool Gas vs. DM Inertia Tensor

$$J_i(t) = a(t)^2 \dot{D}(t) \epsilon_{ijk} T_{jl} I_{lk}$$

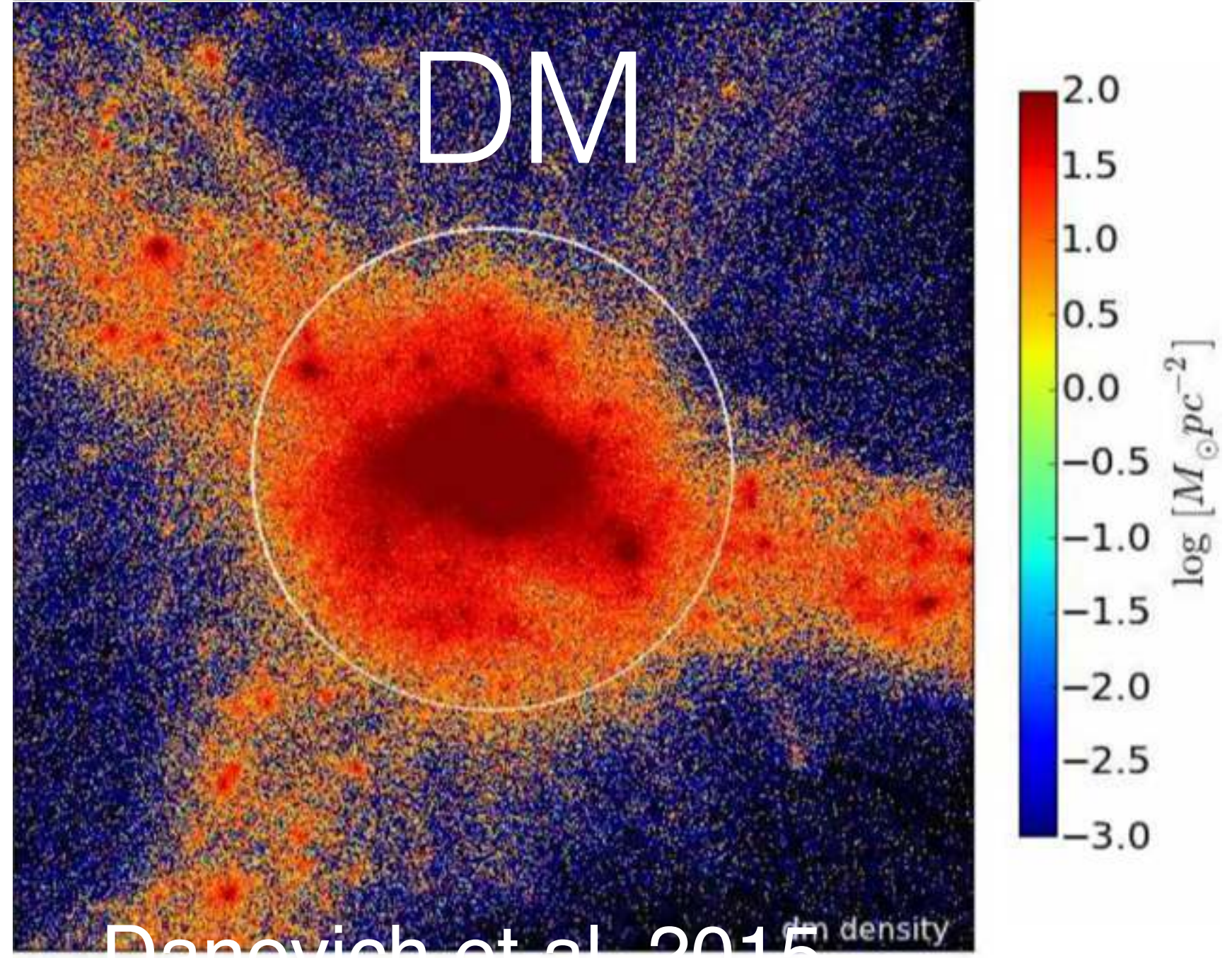
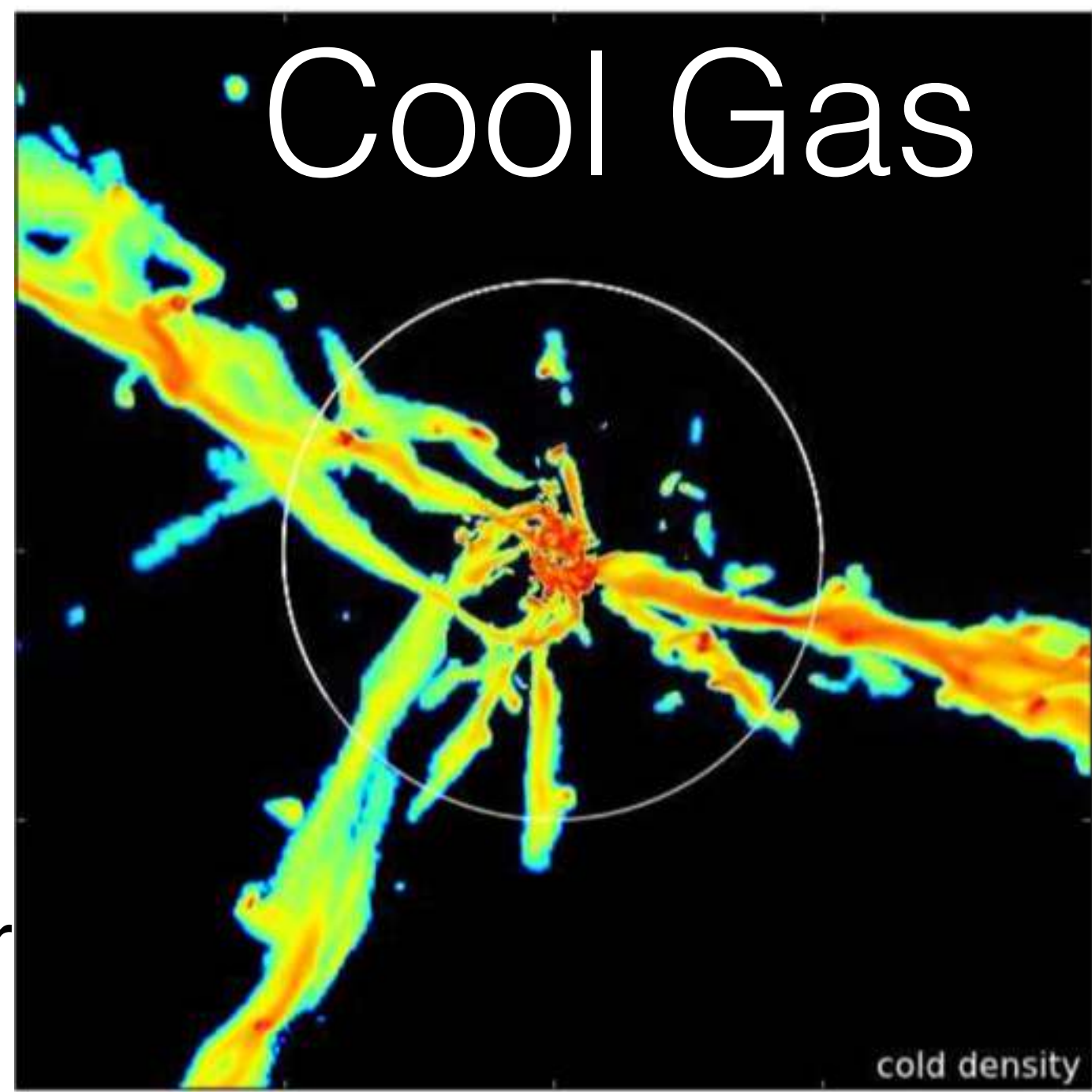
inertia tensor

tidal field

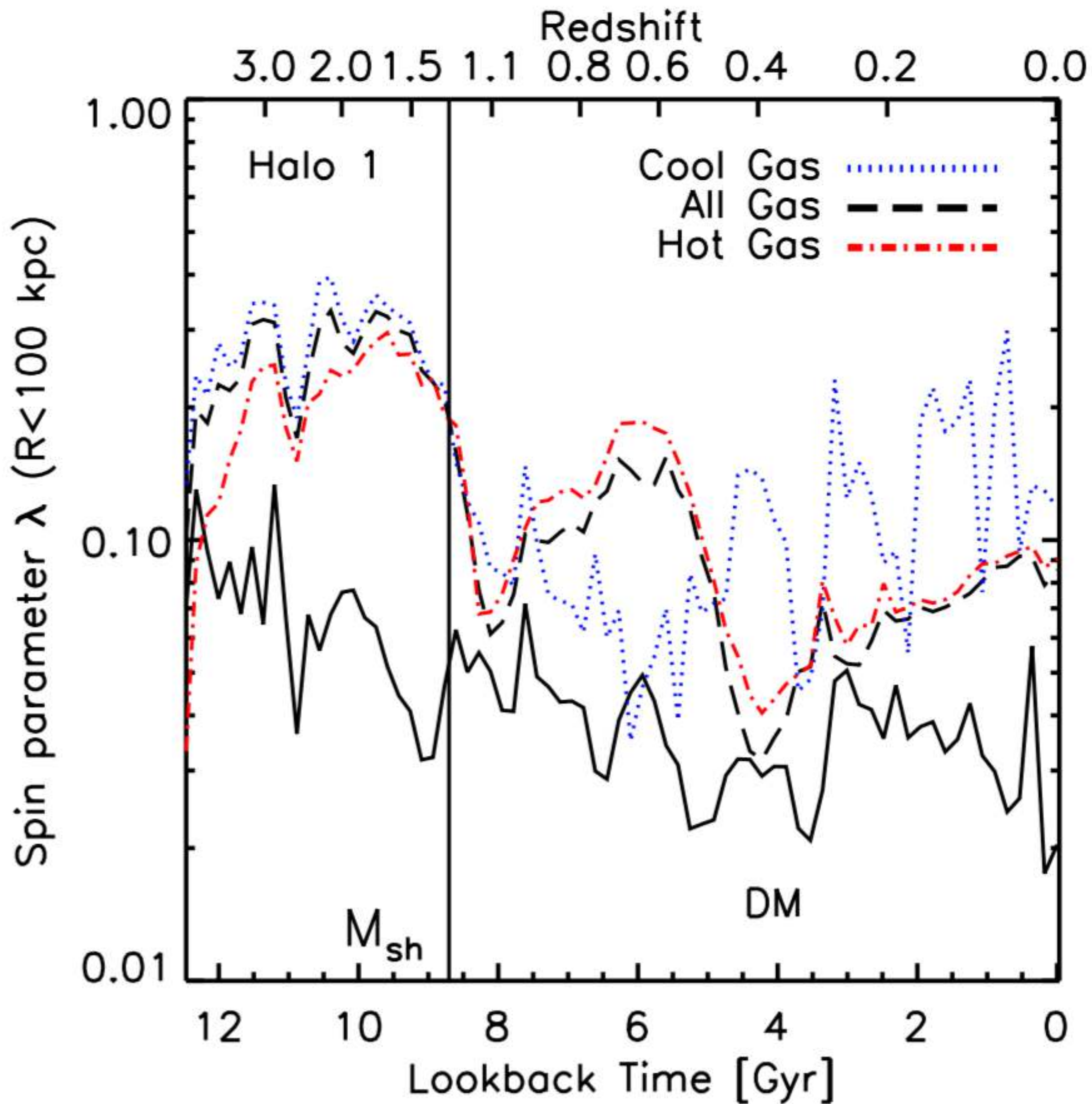


turn-around time

quadrupole moment of cold gas ~50% higher than DM



Peebles (1969); Doroshkevich (1970); White (1984)



Stewart+2011 [Gasoline]

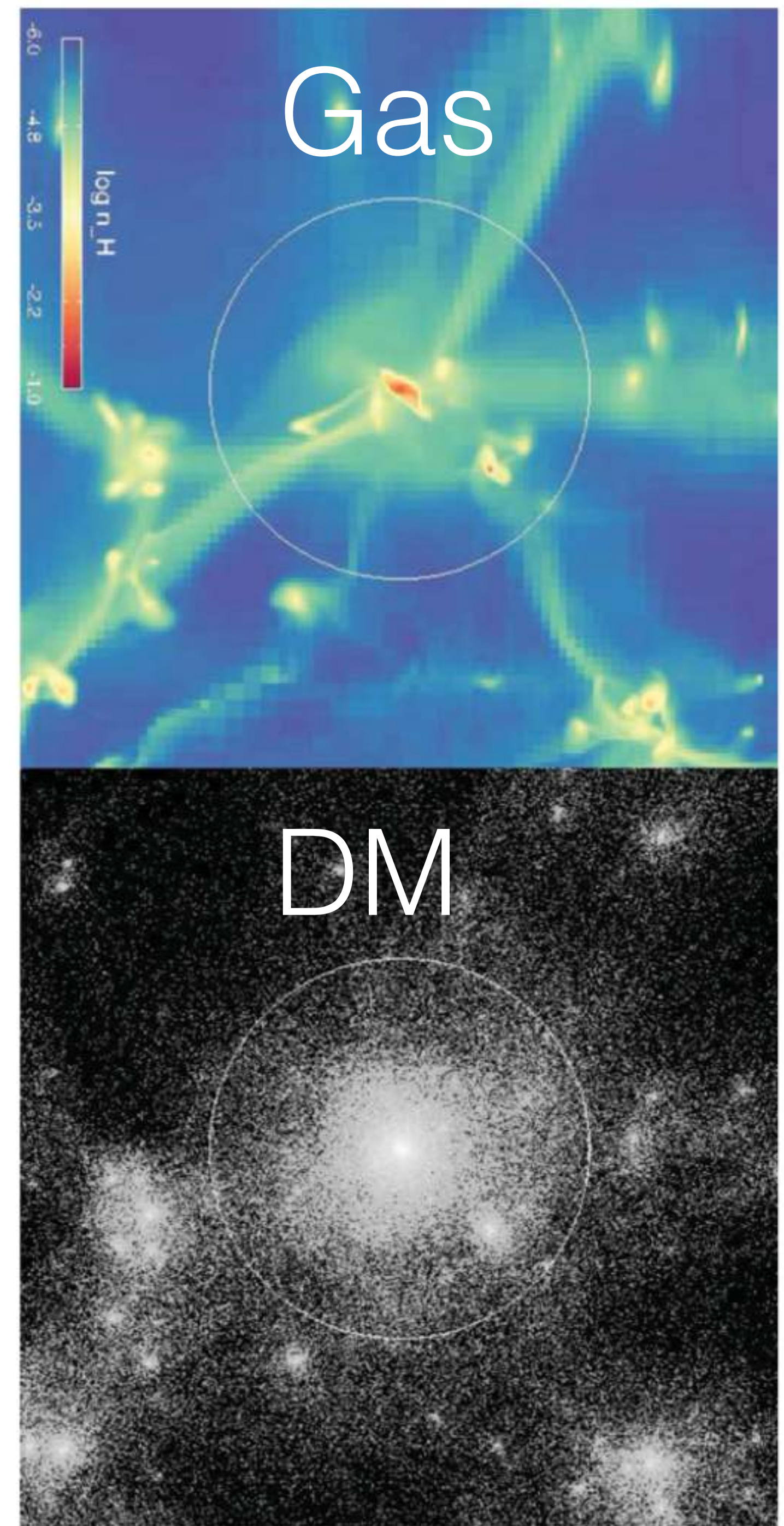
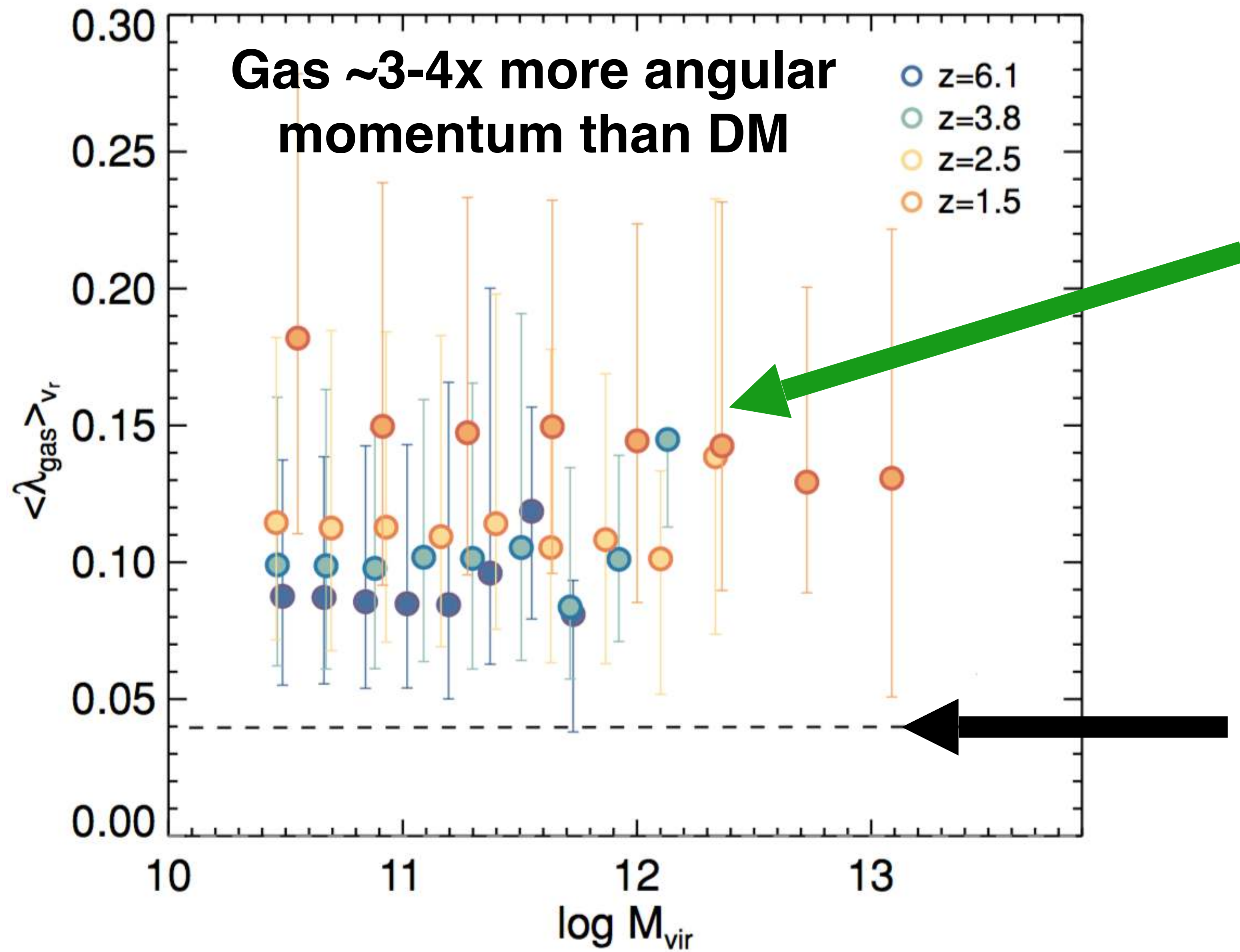
Typically:

Cool gas $\sim 3x$ spin of DM

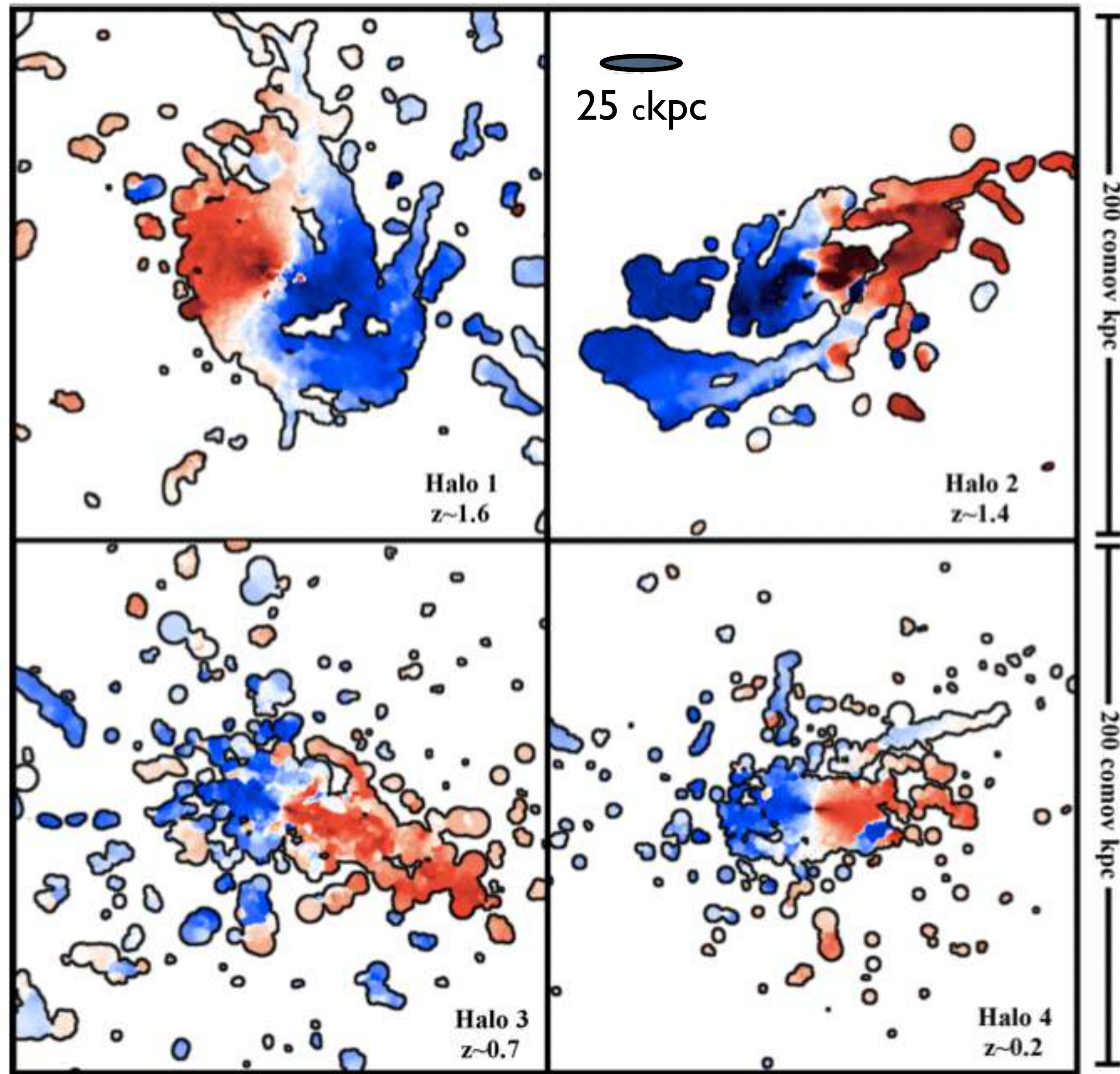
Hot gas $\sim 2x$ spin of DM

Cool gas can show spin parameters up to $\sim 10x$ DM (almost rotationally supported)

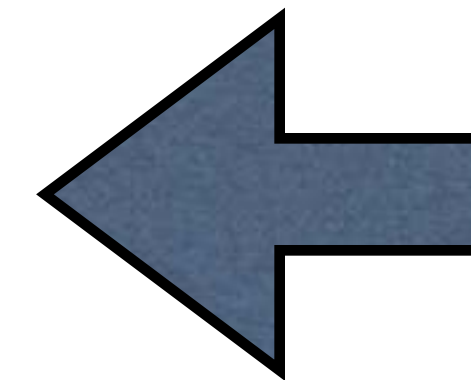
Pichon+2011 [RAMSES]



Stewart et al. 2013



Cool CGM is spinning fast



This is the gas that will build the disk.

GASOLINE (SPH)

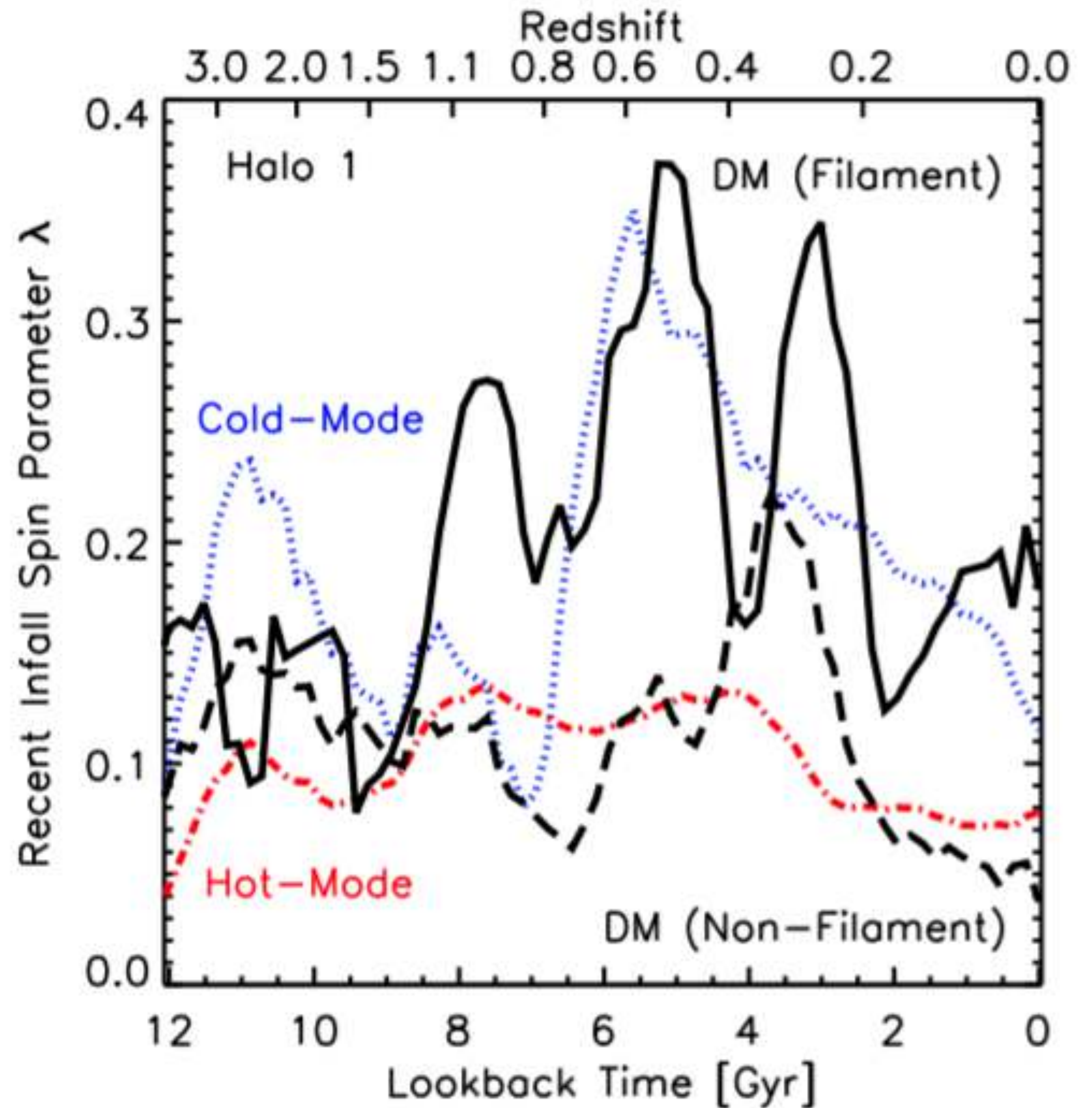


Black contours have $N_{\text{HI}} > 10^{16} \text{ cm}^{-2}$

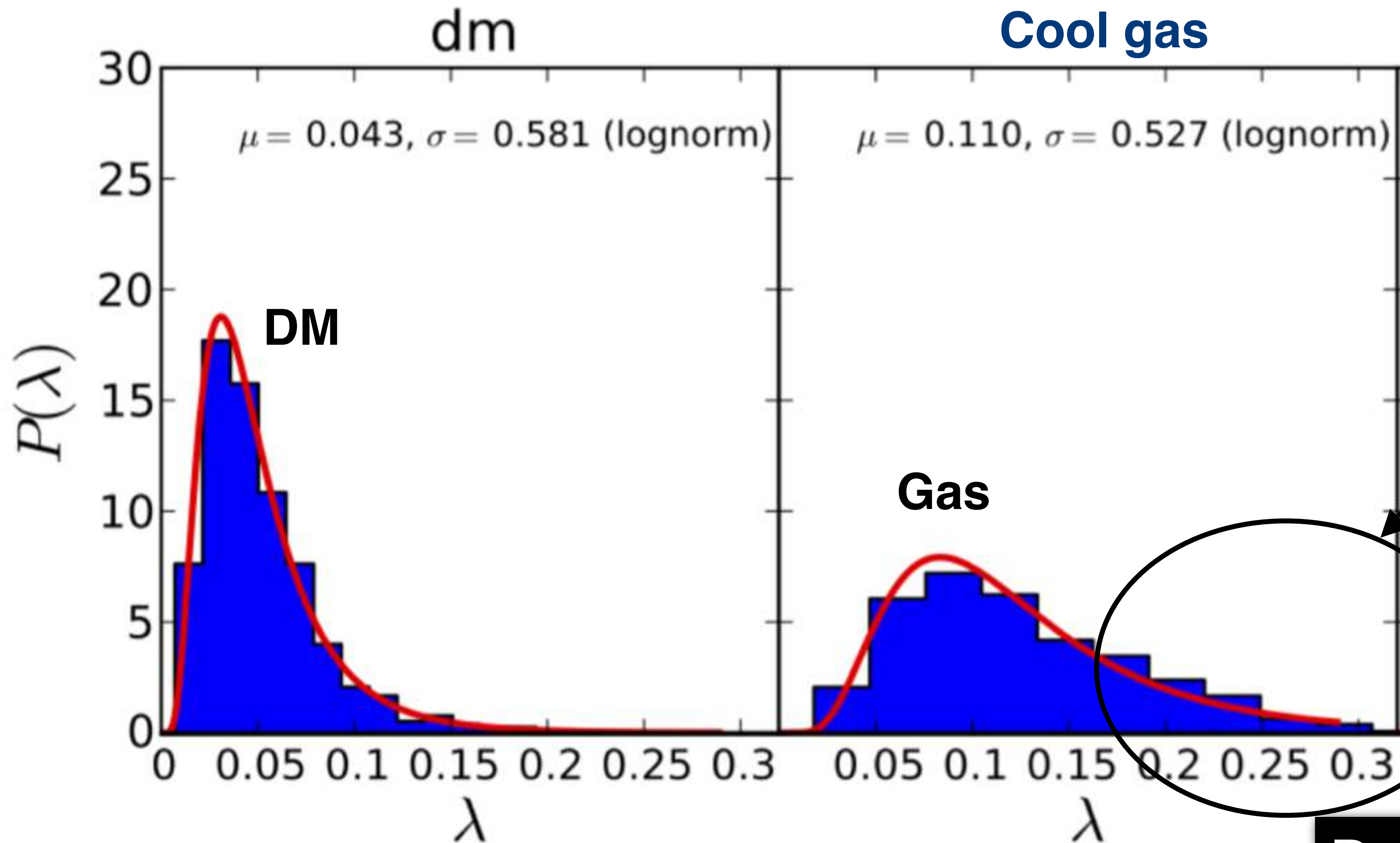
Restrict to DM falling in along same cylinder as gas => spin parameters match.

Suggests its a geometric effect, coming from inertia tensor.

Stewart et al. 2013



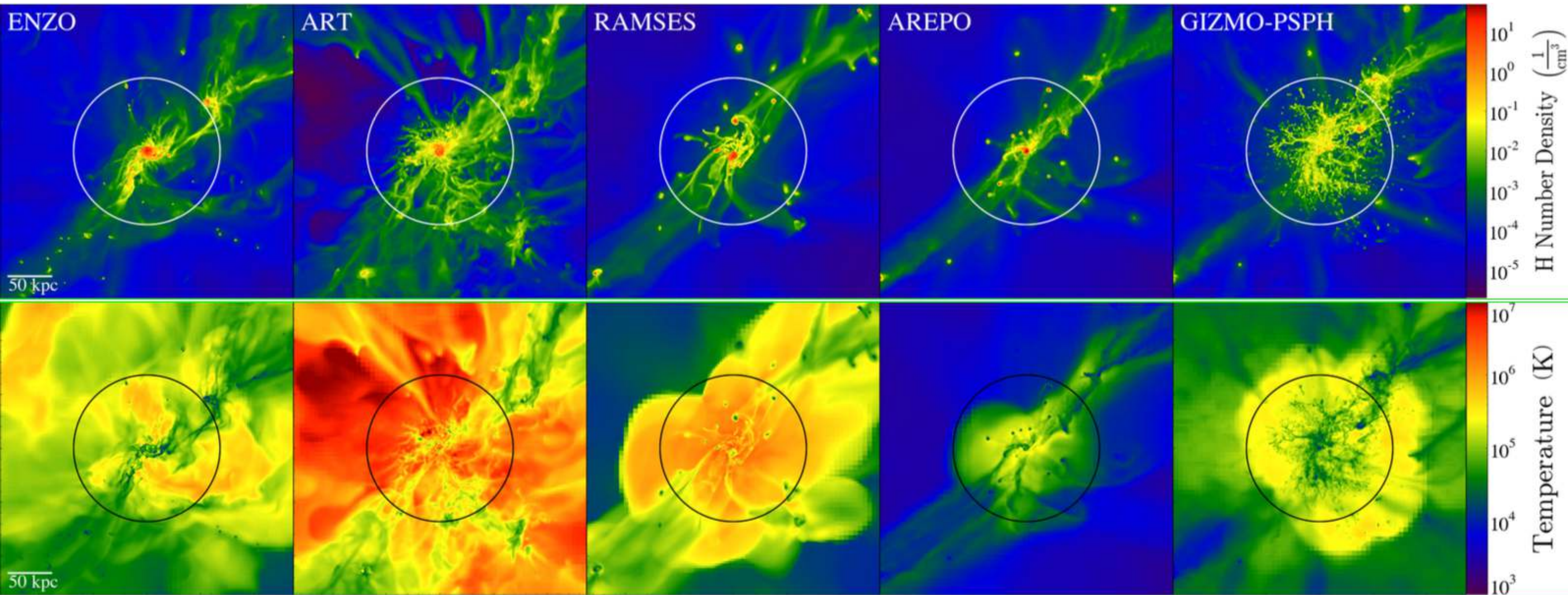
Spin of material between 0.1-1 R_{vir}



29 high resolution cosmological hydrodynamic “zoom-in” sims

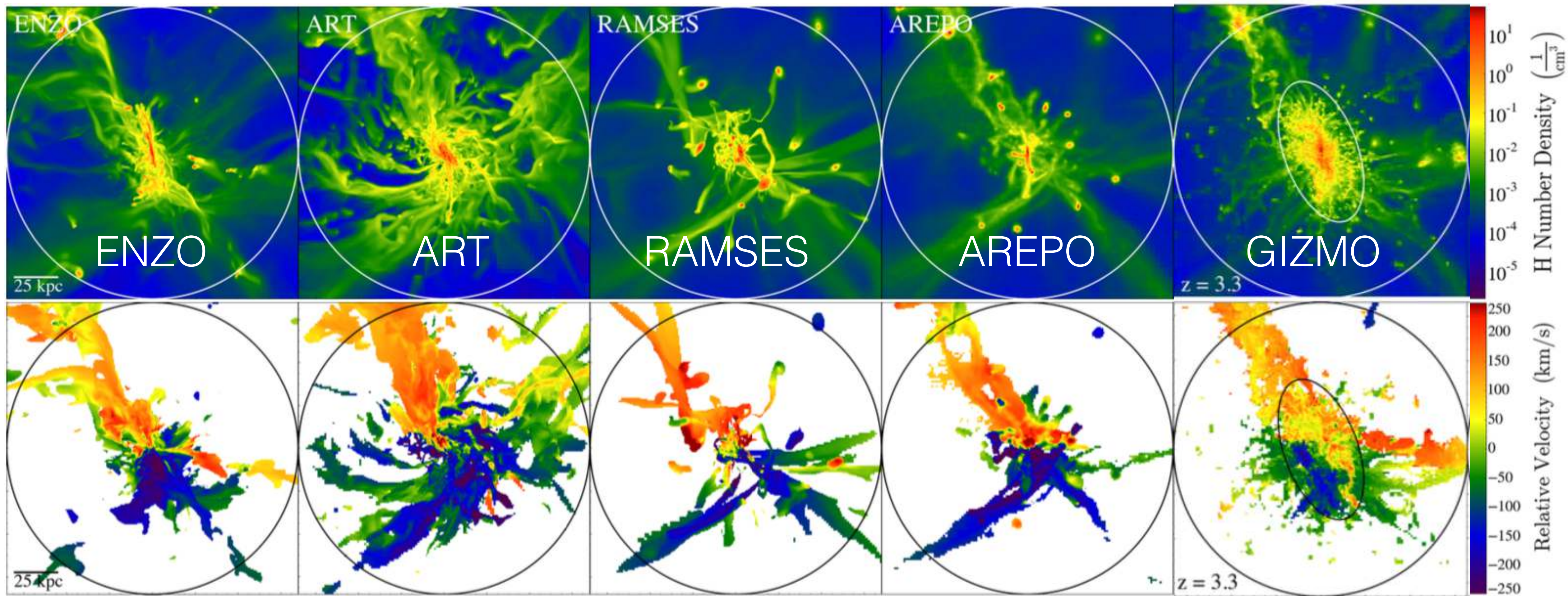
Danovich et al. 2015

Do any of these simulations agree on anything?

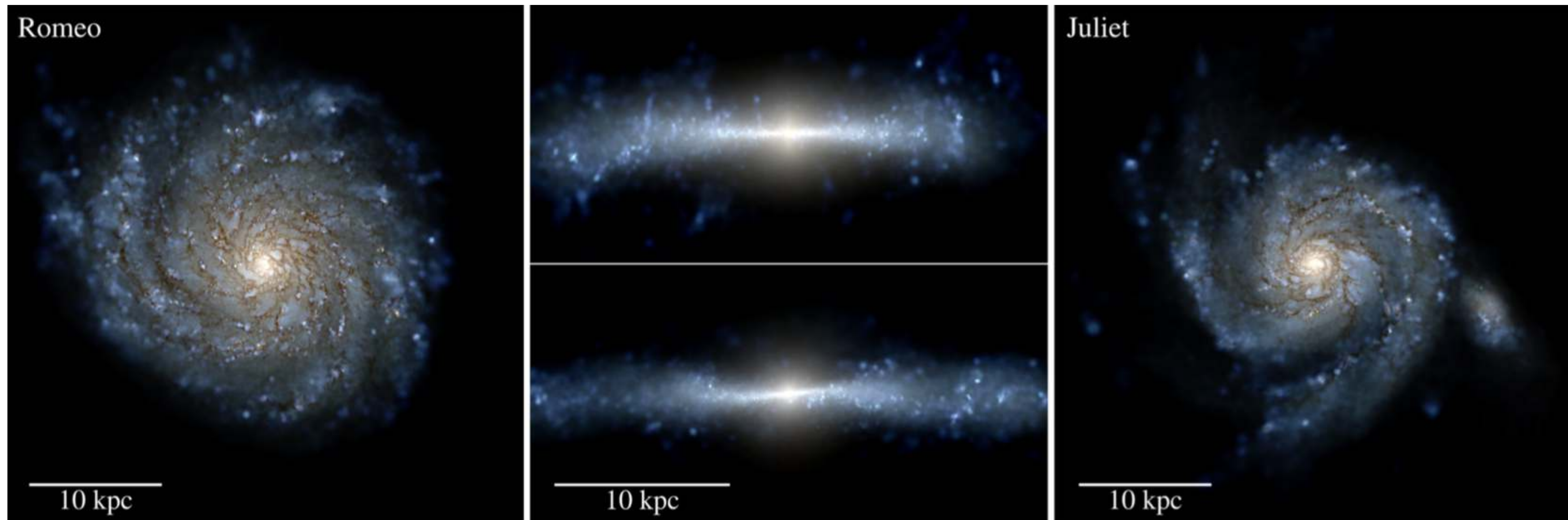


Stewart et al. 2017

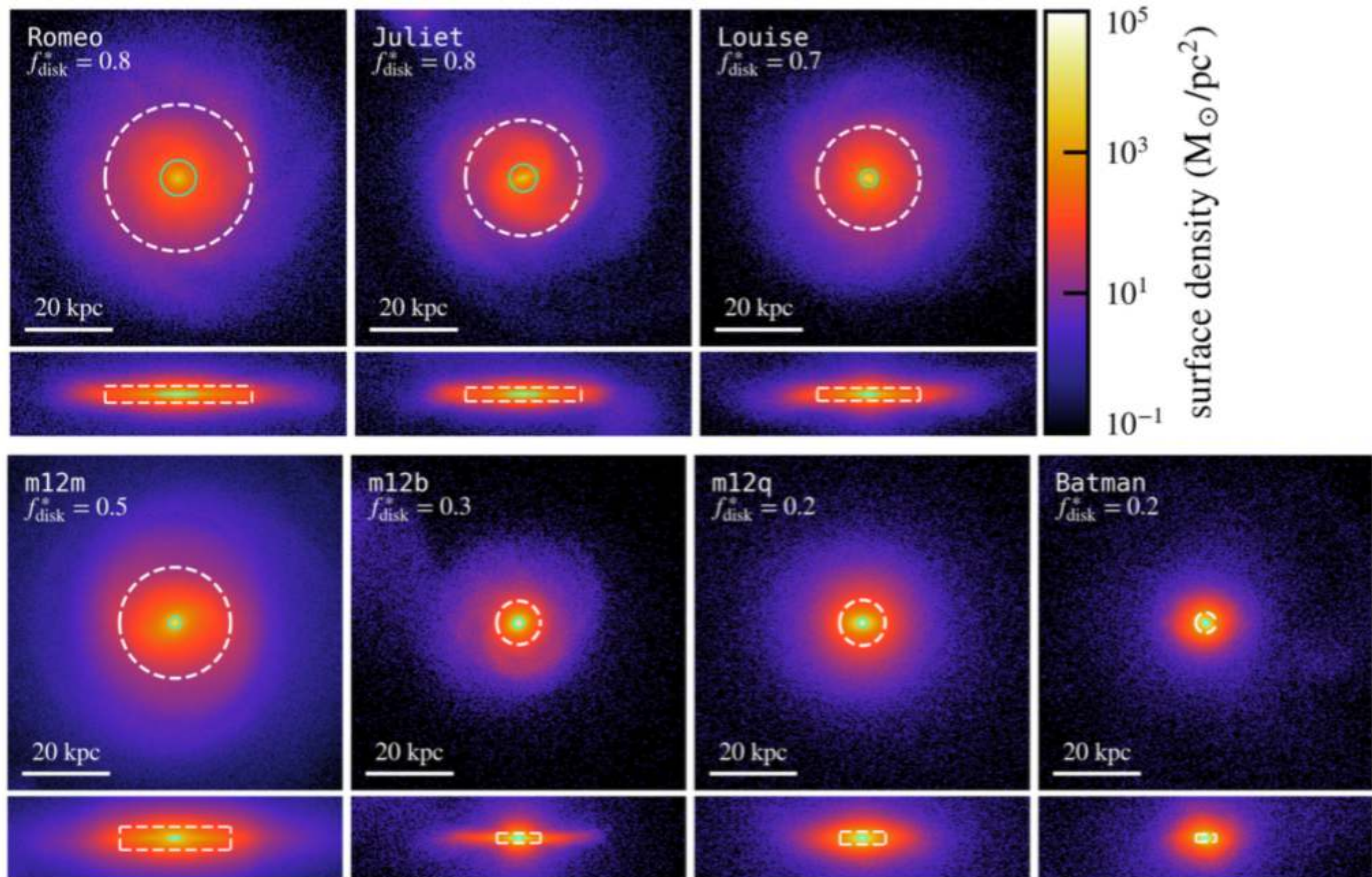
YES! Cold gas is spinning w/ $\sim 3x$ specific j as DM



What sets galaxy sizes?

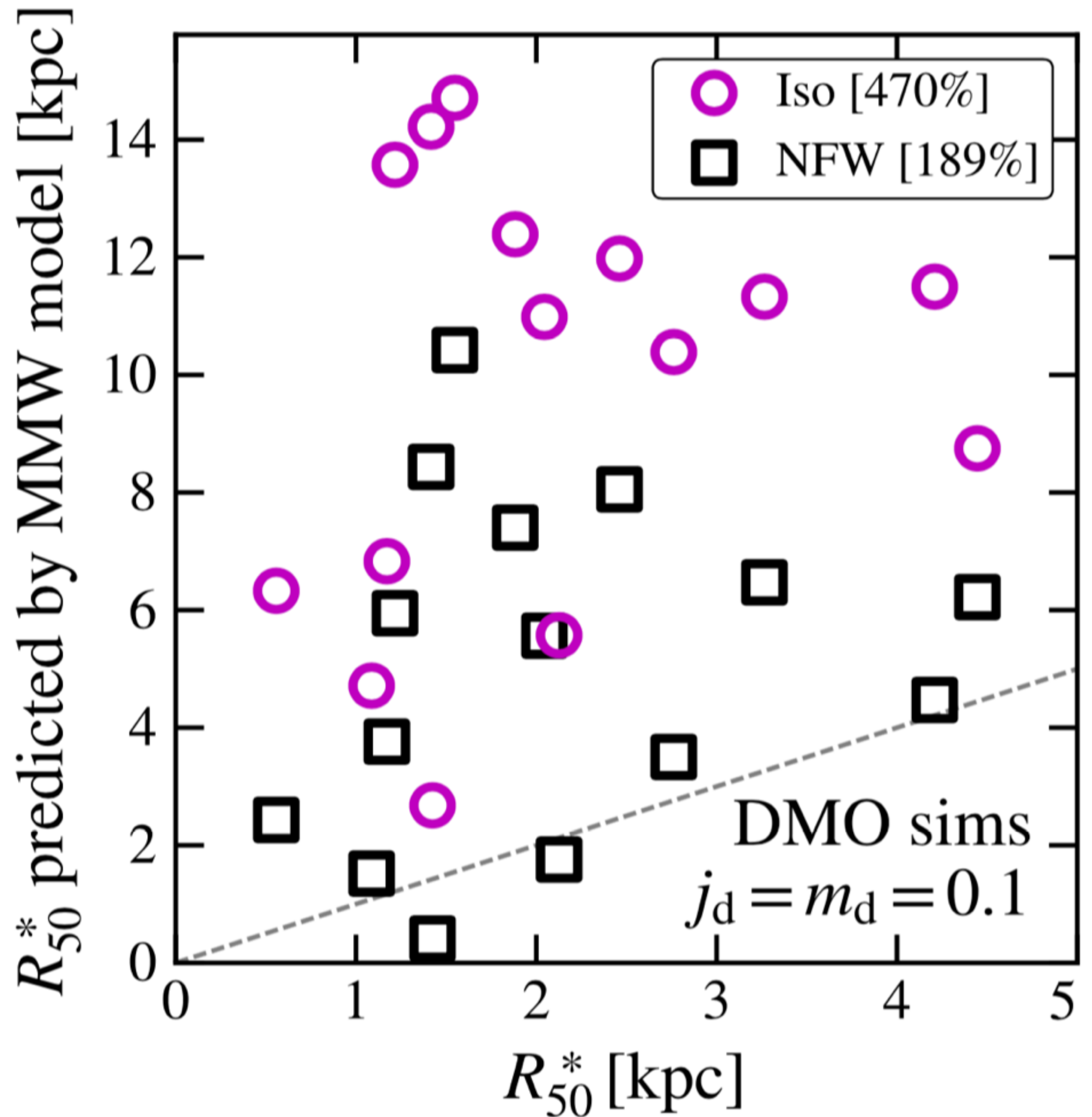


Garrison-Kimmel et al. 2018a [FIRE simulations]



$\sim L^*$ galaxy sizes in FIRE simulations **do not correlate w/ DM halo spin** as expected in standard picture.

Garrison-Kimmel+ 2018

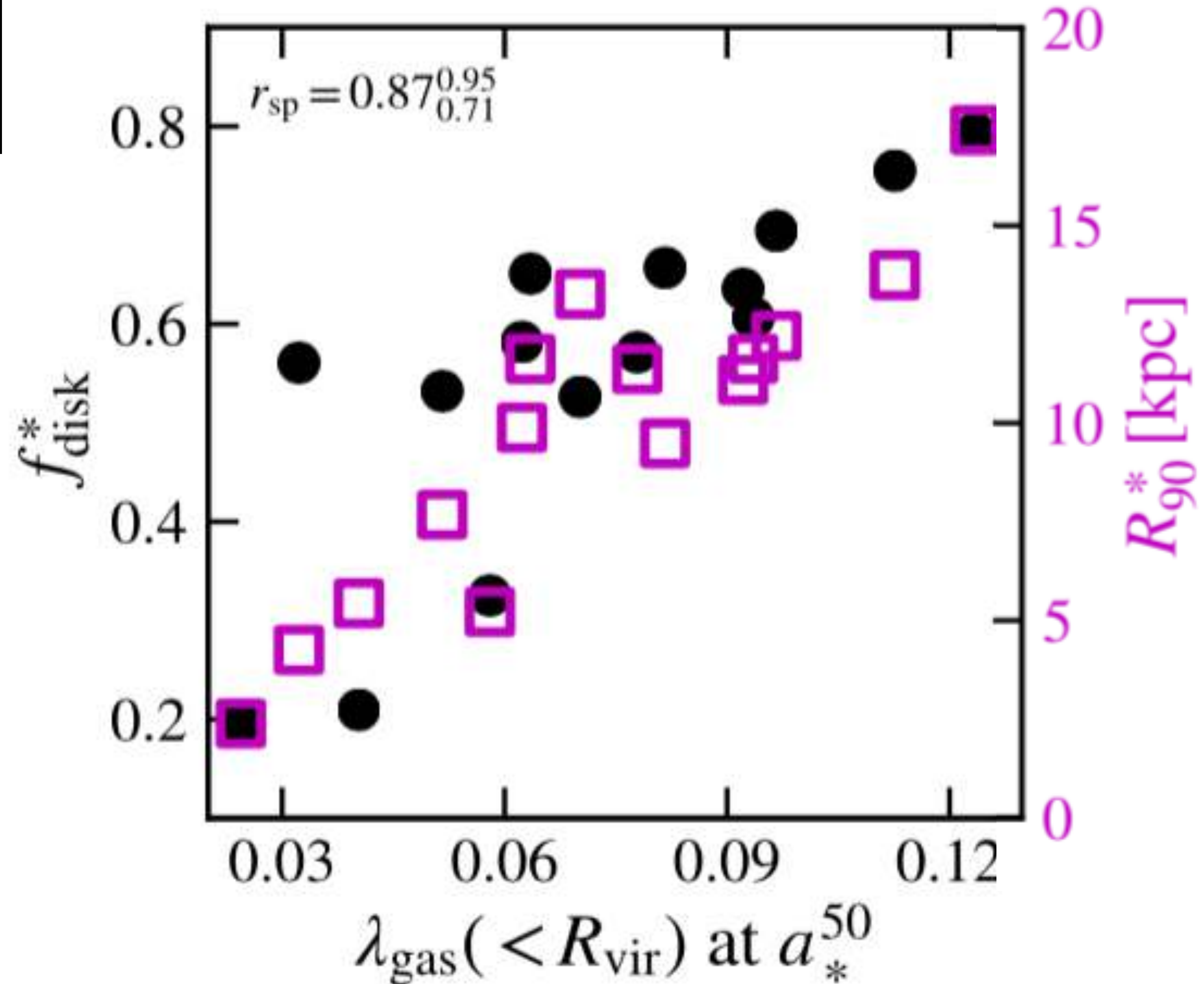


What sets galaxy sizes?

Spin of the gas at early times - the cold gas that builds the disk.

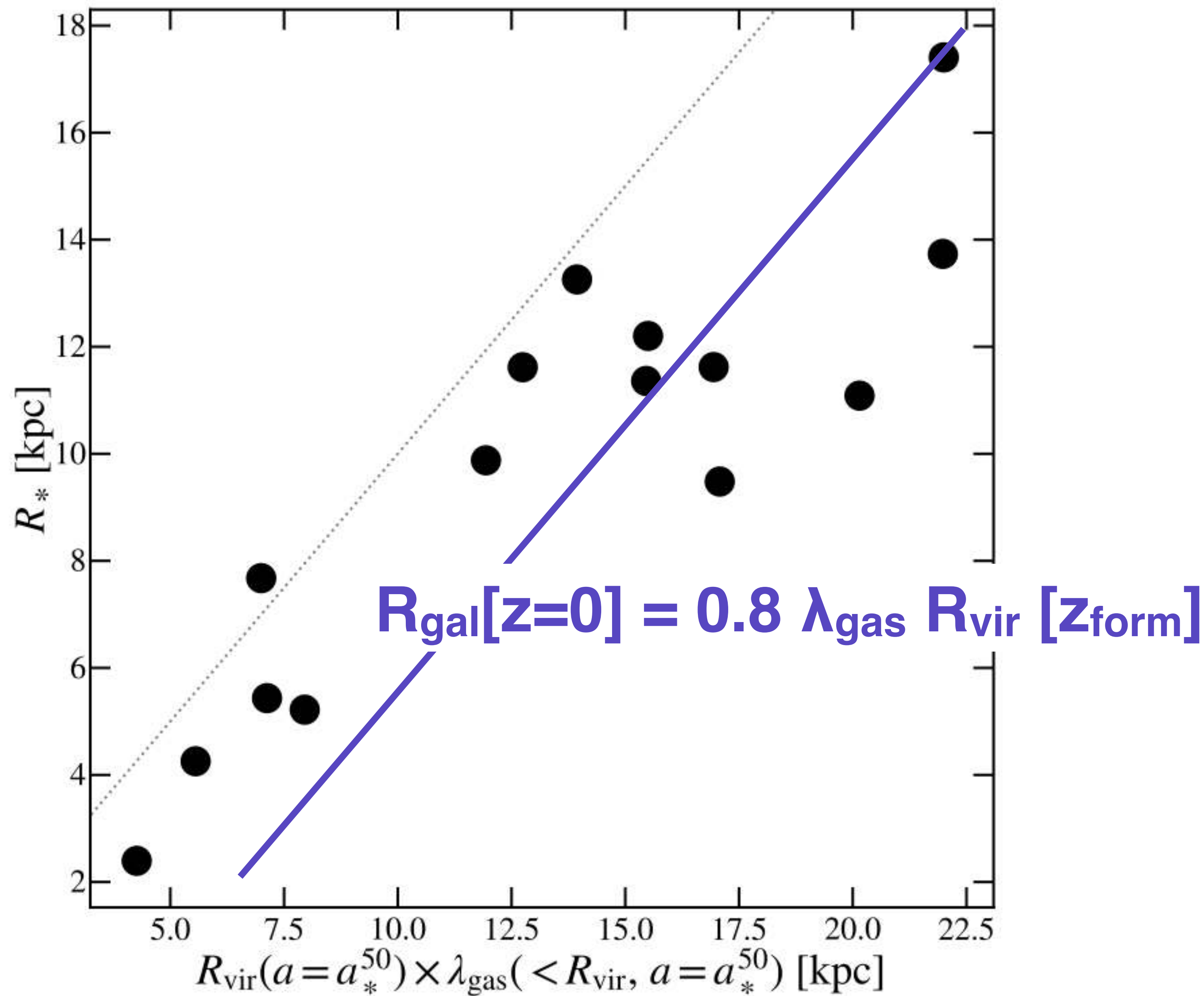
NOT spin of the dark matter at $z=0$.

Garrison-Kimmel+ 2018



gas spin
at $z \sim 1$
correlates
w/ galaxy
size at $z \sim 0$

galaxy size $z=0$

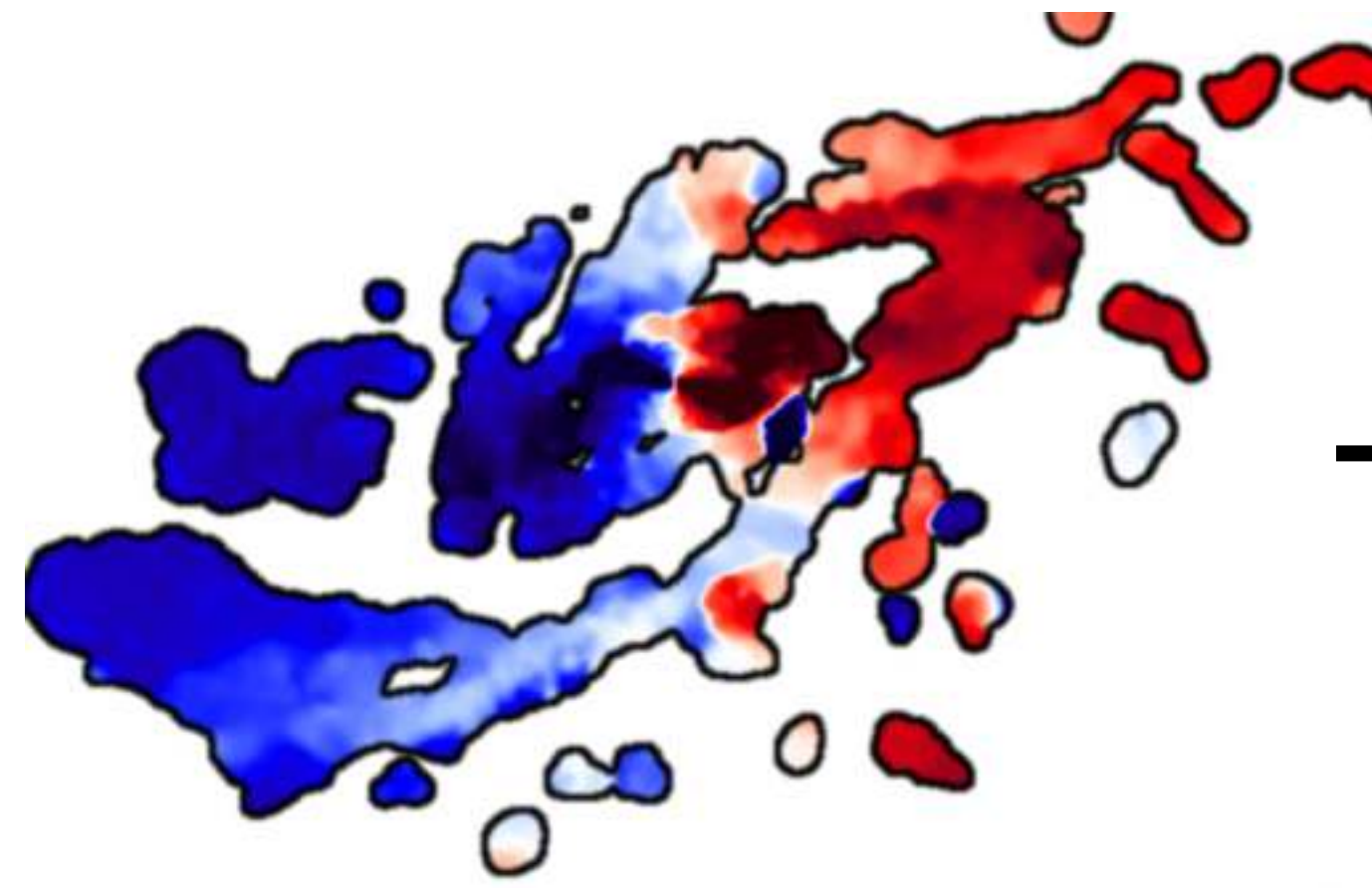


Garrison-Kimmel+ 2018

$\lambda_{\text{gas}} \times R_{\text{vir}} [z_{\text{form}}]$

cold gas spin @ $z \sim 1$

galaxy size @ $z=0$



Produces similar order-of-magnitude result as old picture:

$$\lambda_{\text{gas}}(z \sim 1) R_{\text{vir}}(z \sim 1) \simeq \lambda_{\text{dm}}(z = 0) R_{\text{vir}}(z = 0)$$

↑
~0.09

↑
~100 kpc

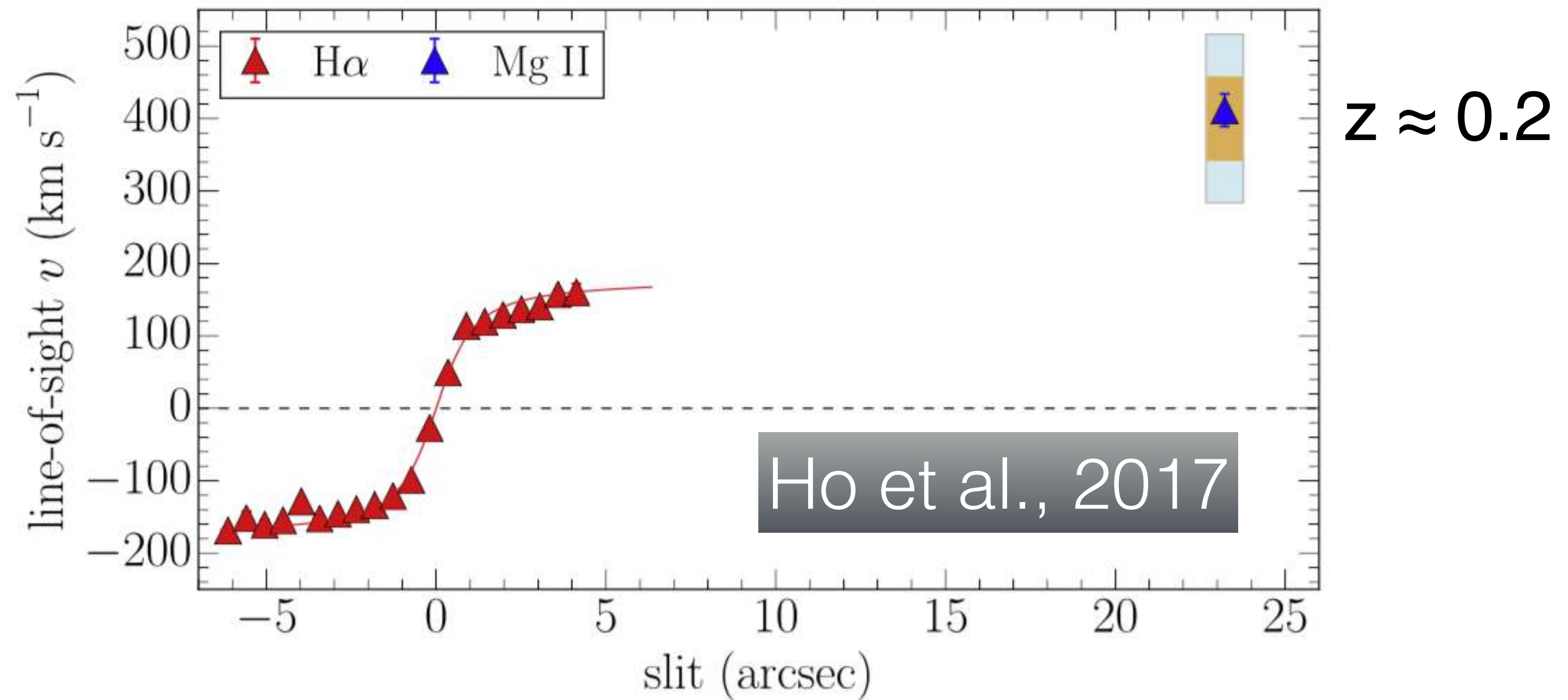
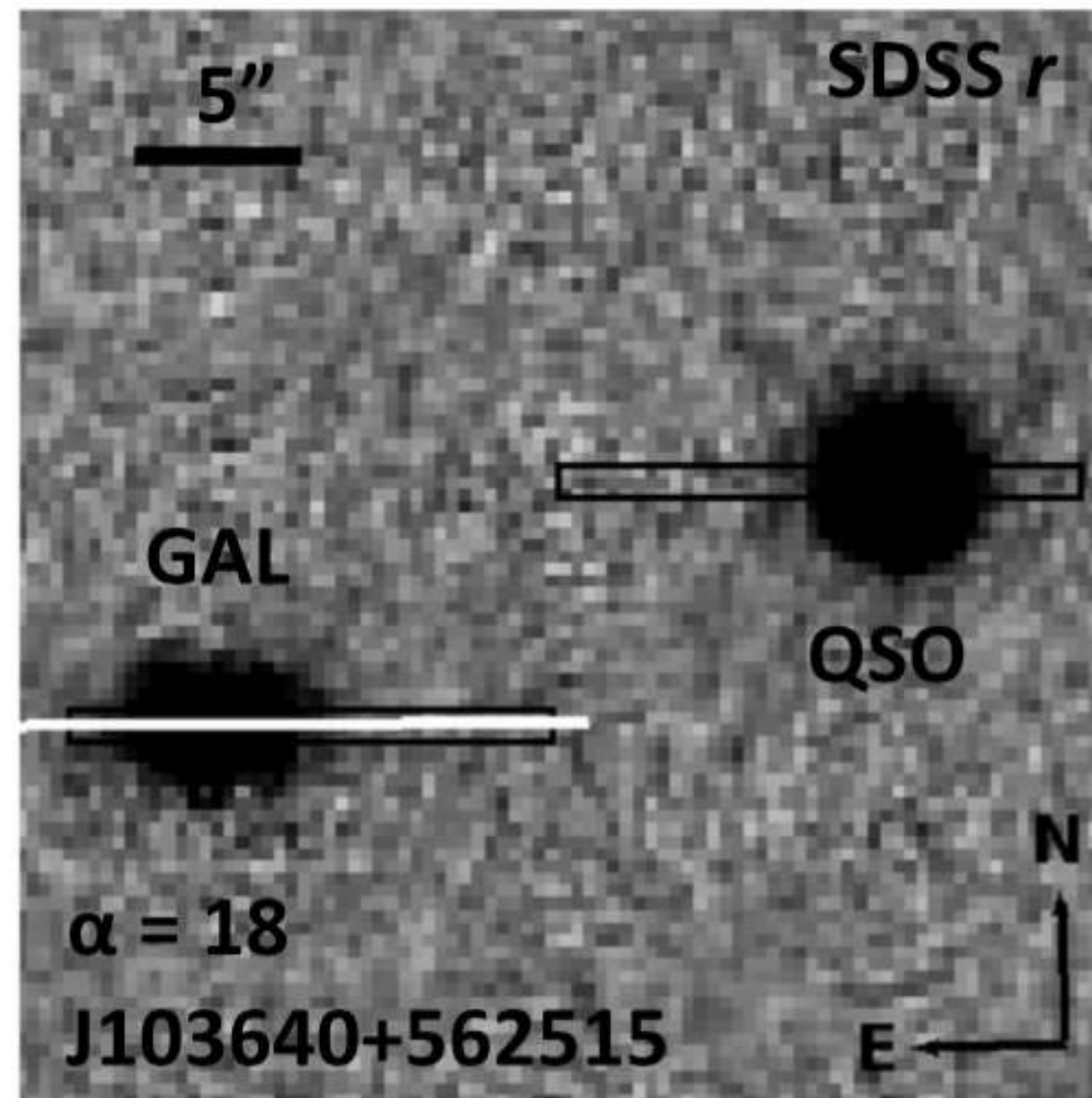
↑
~0.03

↑
~300 kpc

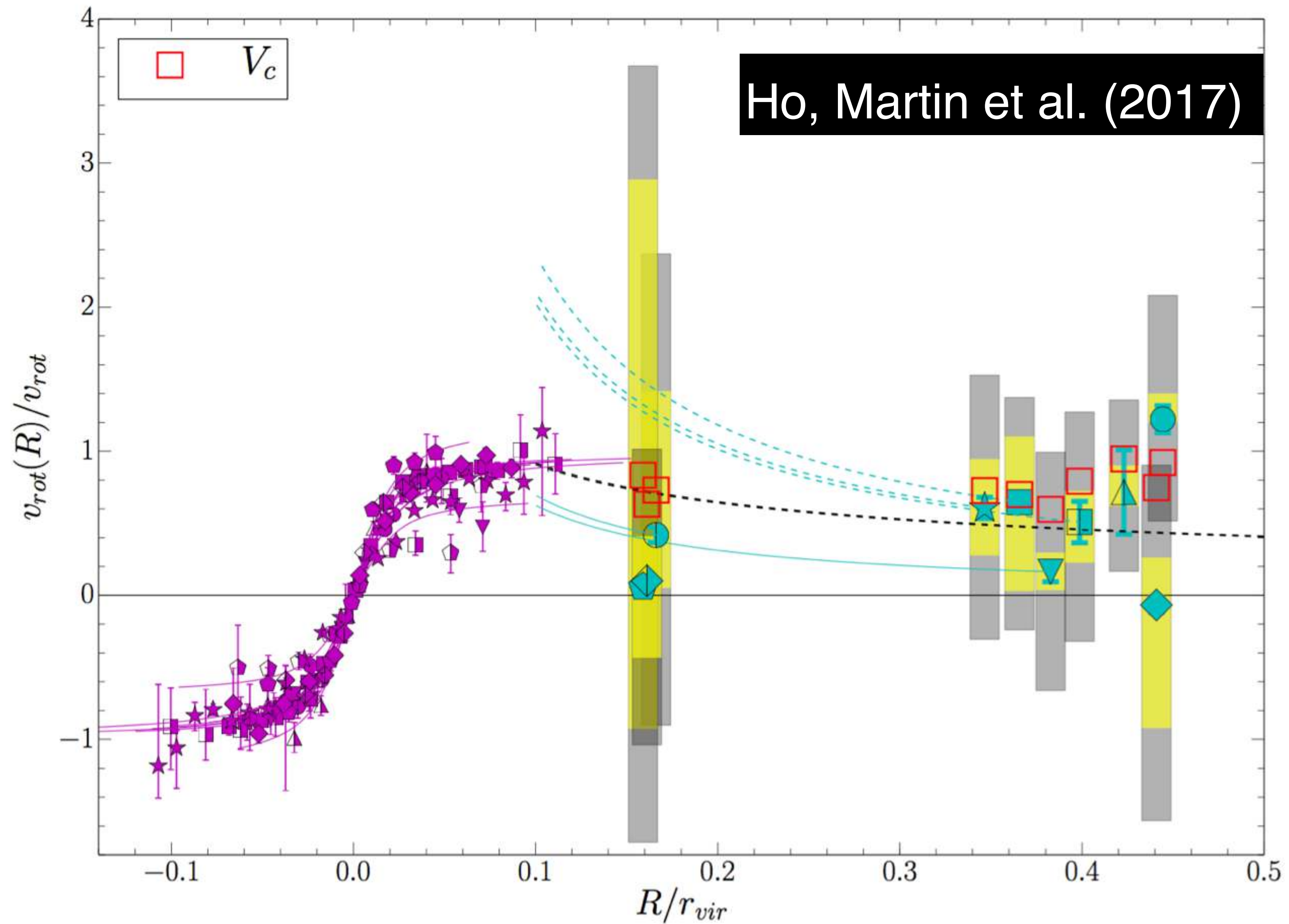
This approximate equality is true statistically, NOT halo-by-halo

Does cool CGM gas spin as
expected?

Vast majority of MgII absorber/disk pairs exhibit high-spin accretion kinematics



Steidel et al., 2002; Chen et al., 2005; Kacprzak et al., 2010a, 2011a; Bouche' et al., 2013; Burchett et al., 2013; Keeney et al., 2013; Jorgenson & Wolfe, 2014; Diamond-Stanic et al., 2016; Bouche' et al., 2016;



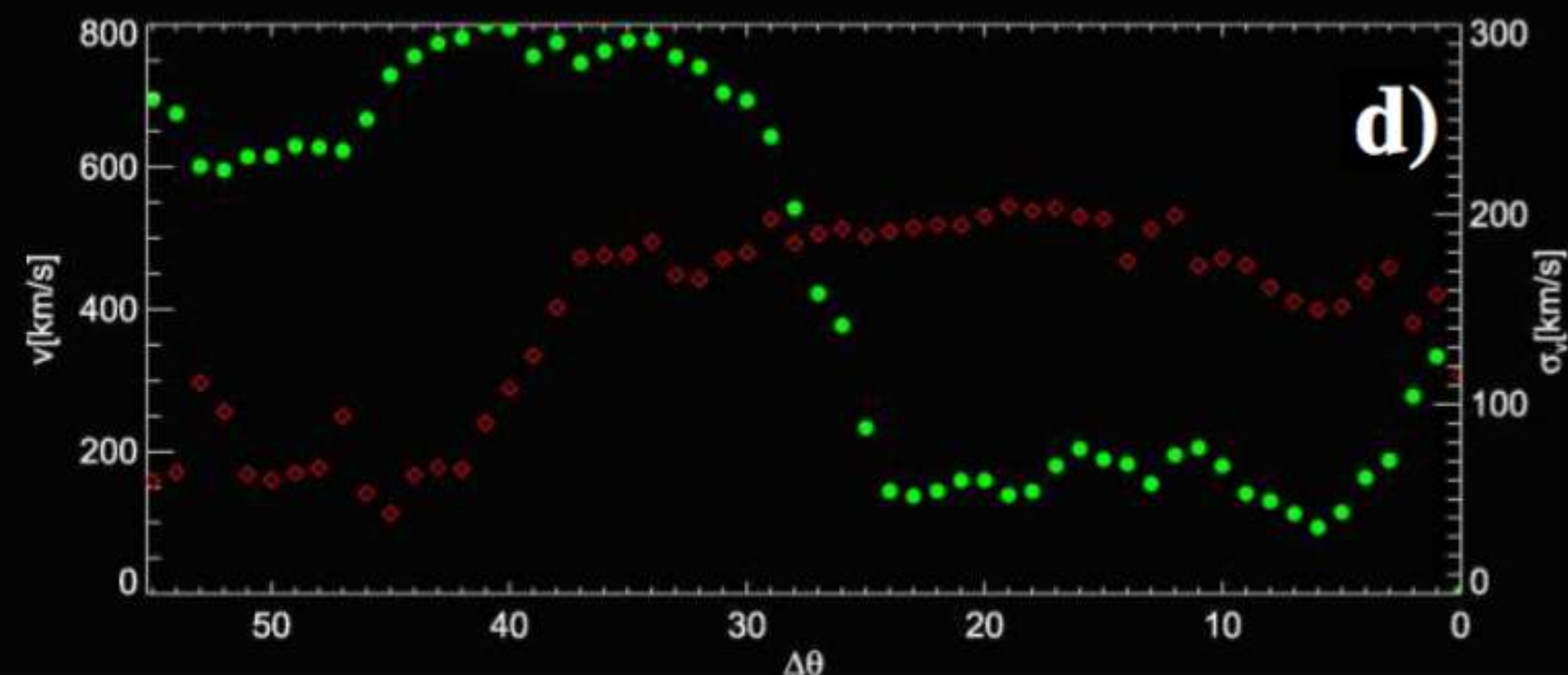
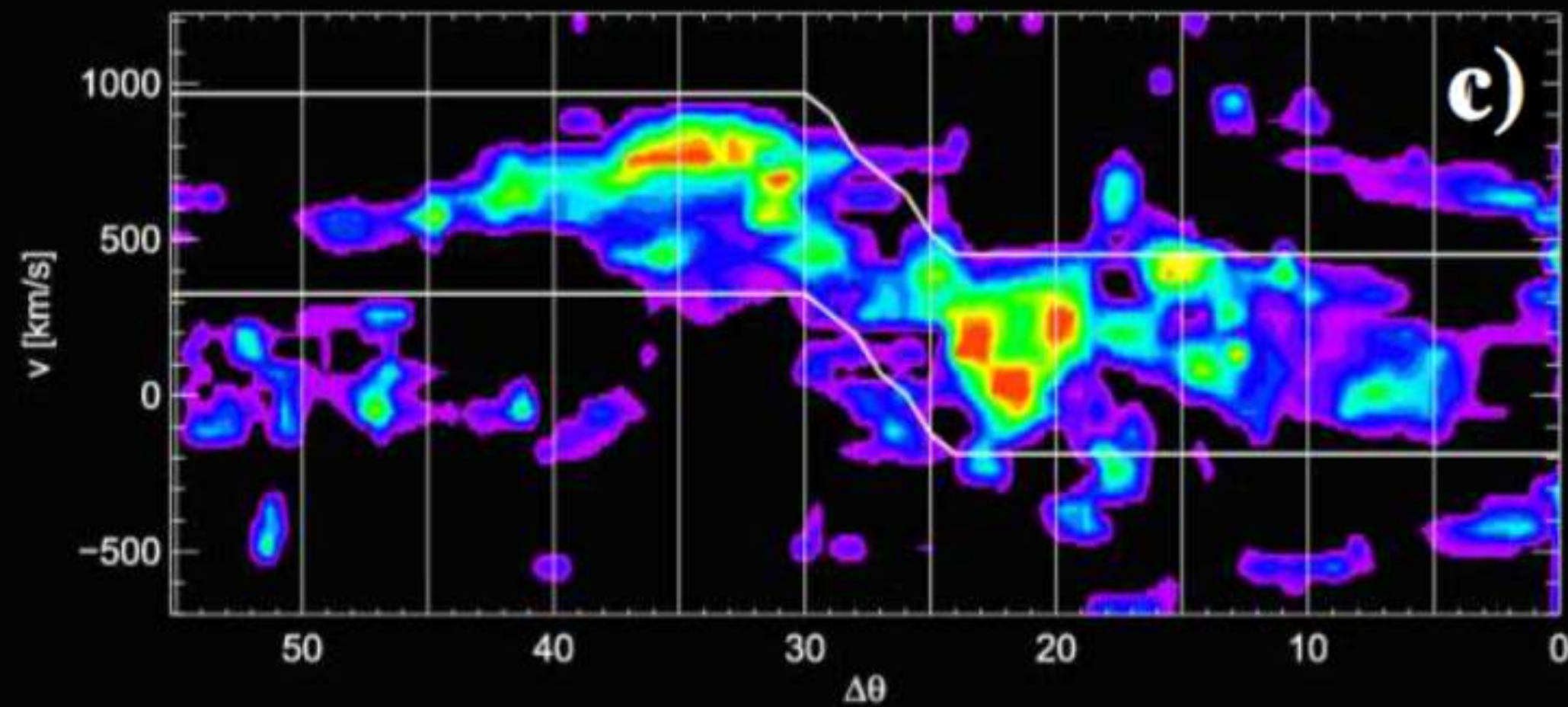
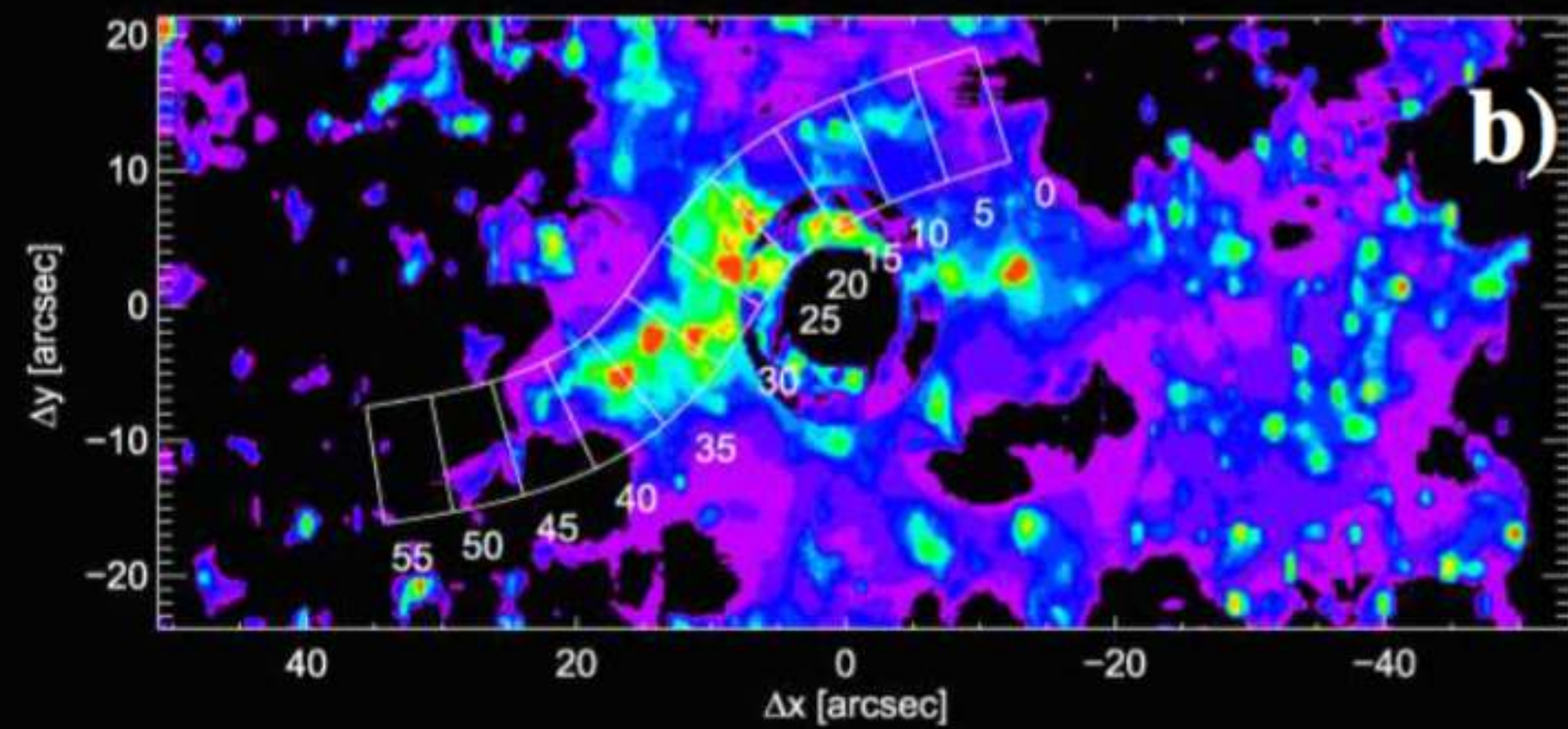
Mg II absorbers around
 inclined, star-forming
 galaxies at $z \sim 0.2$

“Mg II Doppler
 shifts have the
 same sign as the
 galactic rotation,
 so the cold gas
 co-rotates with the
 galaxy.”

Martin et al. 2016

“Cold inflowing disk”

Bright Ly α filament @ $z = 2.843$
w/ Palomar Cosmic Web Imager



R \sim 150 kpc gas structure
rotating at $V \sim$ 350 km/s

Looks like $\sim 4 \times 10^{12} M_{\text{sun}}$ halo

Conclusions

Cool gas that feeds galaxies is accreted with significant angular momentum, $\sim 3x$ spin of DM halo

=> Expect orbiting, in-spiraling halo gas

=> Possible way to make very large disks

Galaxy sizes in FIRE/Milky Way simulations correlate with spin of the cool gas at $z \sim 1$ (**not** DM halo spin at $z \sim 0$)

=> $R_{\text{gal}}(z=0) \sim \lambda_{\text{gas}}(z \sim 1) R_{\text{vir}}(z \sim 1)$

There is evidence that cool CGM gas spins as predicted.

=> Chance to map out “source term” of angular momentum at $z > 0$ that will set disk sizes at $z = 0$.

Does AM regulate HI gas in HI-deficient spirals?

Chandrashekar Murugesan
Swinburne University of Technology

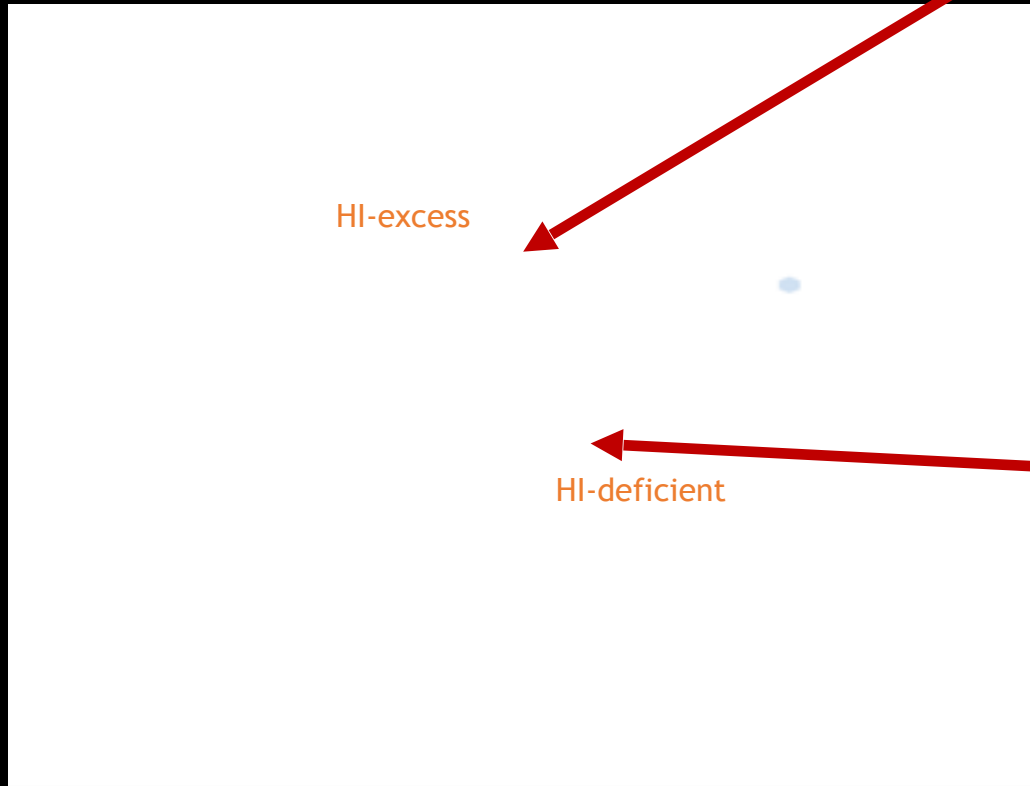


IAU General Assembly, Focus Meeting 6

22 August 2018

Scaling relations: HI-excess & HI-deficient galaxies

~ 1700 HIPASS sources



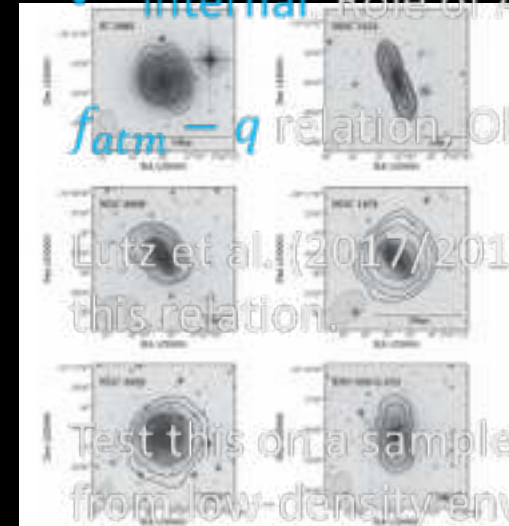
Adopted from Dénes et al. (2014)



Reasons?

- **Environment:** ram pressure and tidal stripping, in compact groups and clusters. Wang et al. (2013)
What about low-densities? Some galaxies HI-deficient, how and why?

- **Internal:** Role of Angular momentum ?



$f_{atm} = q$ relation, Obreschkow et al. (2016) [O16]

Lutz et al. (2017/2018) - HI-excess galaxies follow this relation.

Test this on a sample of HI-deficient spirals from low-density environments.

Dénes et al. (2016)

The sample



Murugesan et al. (*in prep*)

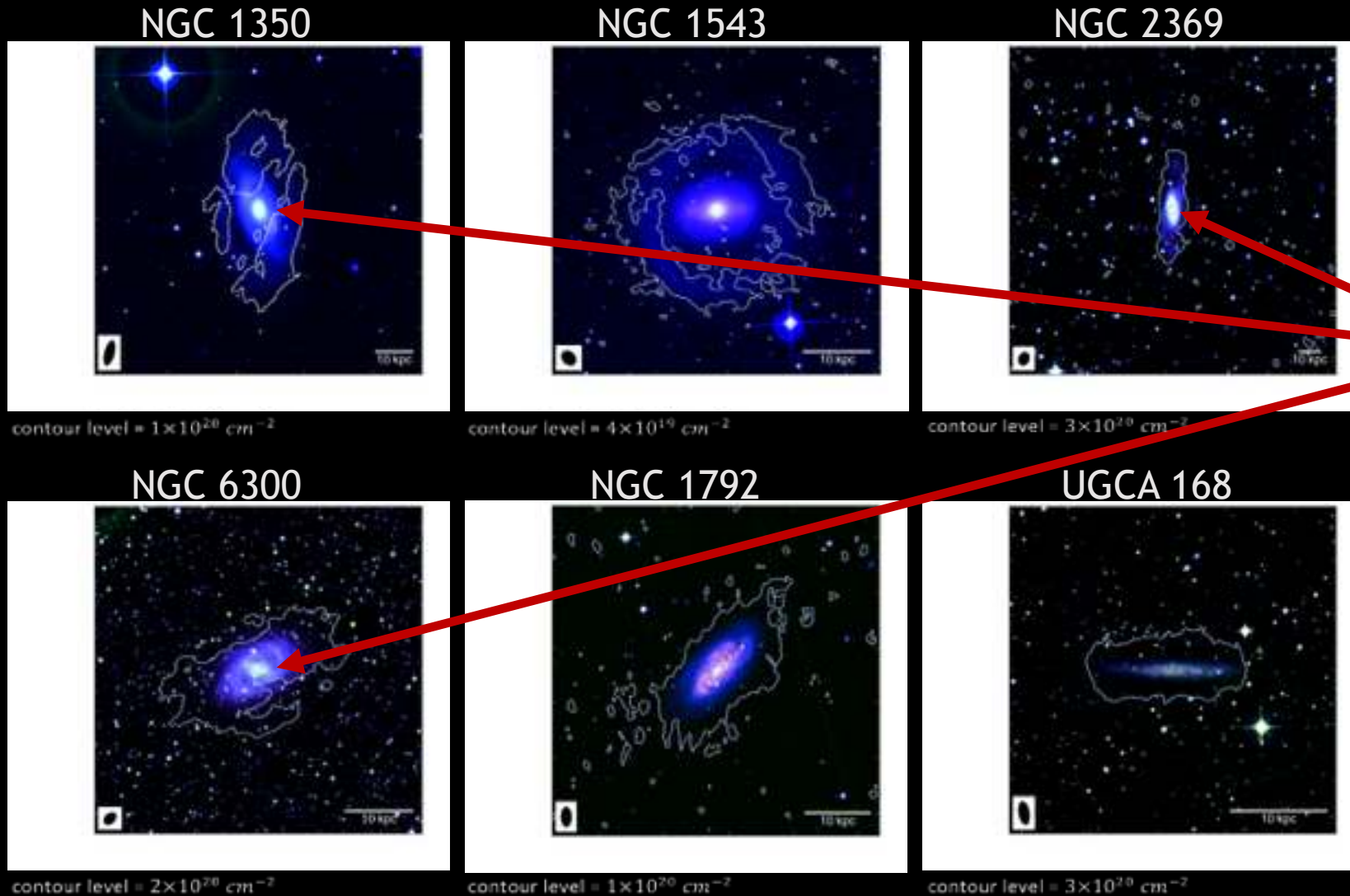
- 6 HI-deficient galaxies
- Low-density environments
- $D_{25} > 210''$
- Observed with the Australia Telescope Compact Array (ATCA)
- Max. Baseline ~ 1.5 km
- Resolution $\sim 30''$



ATCA

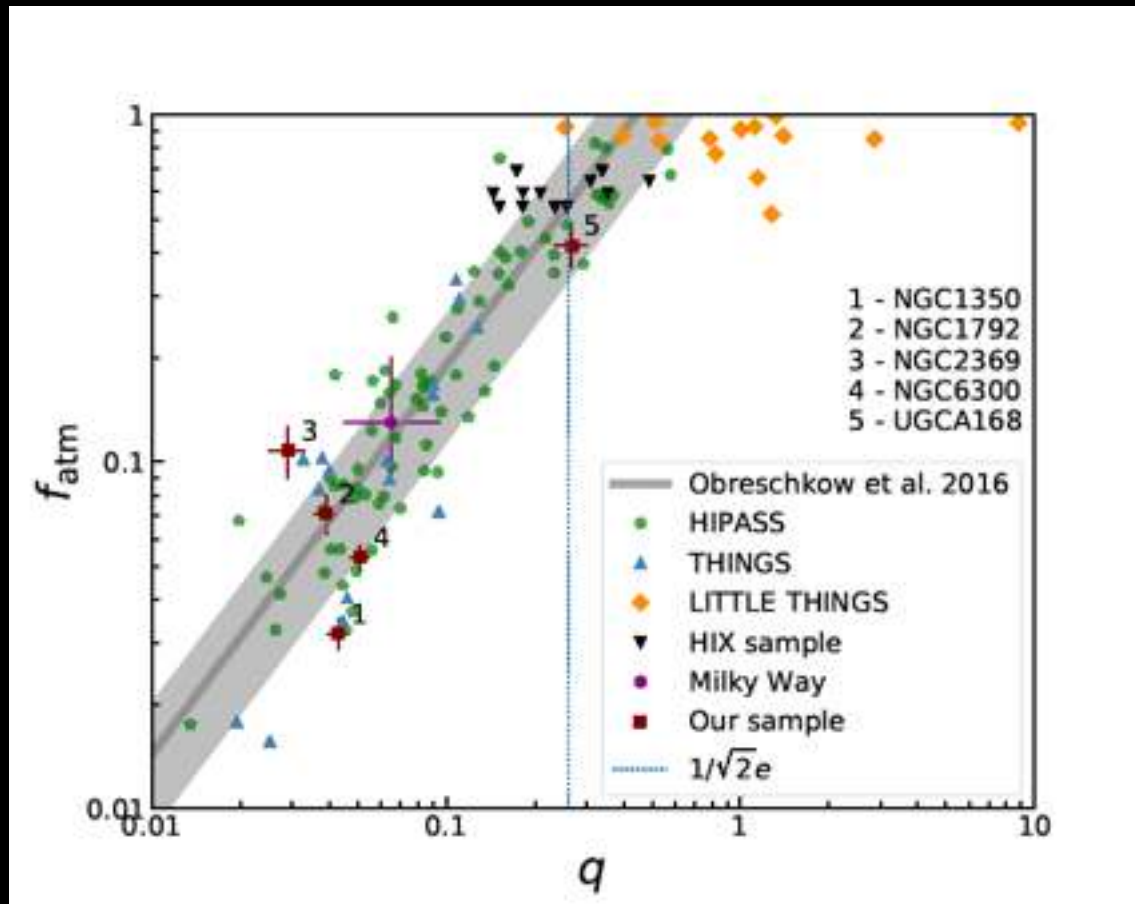
Credit: CSIRO

The sample



- No evidence of ram-pressure or tidal stripping
- Central HI “hole” like features observed. Such holes predicted by analytic models in O16 and related to q
- 3D tilted ring kinematic fitting to data - extract i, PA, V_{rot} & Σ_{HI}
- Stellar mass calculated using 2MASS K_S – band images

Results: The $f_{atm} - q$ relation



Murugesan et al. (*in prep*)

$f_{atm} = \frac{1.35M_{HI}}{M}$, atomic gas mass fraction

$q = \frac{j\sigma}{GM}$, global stability parameter

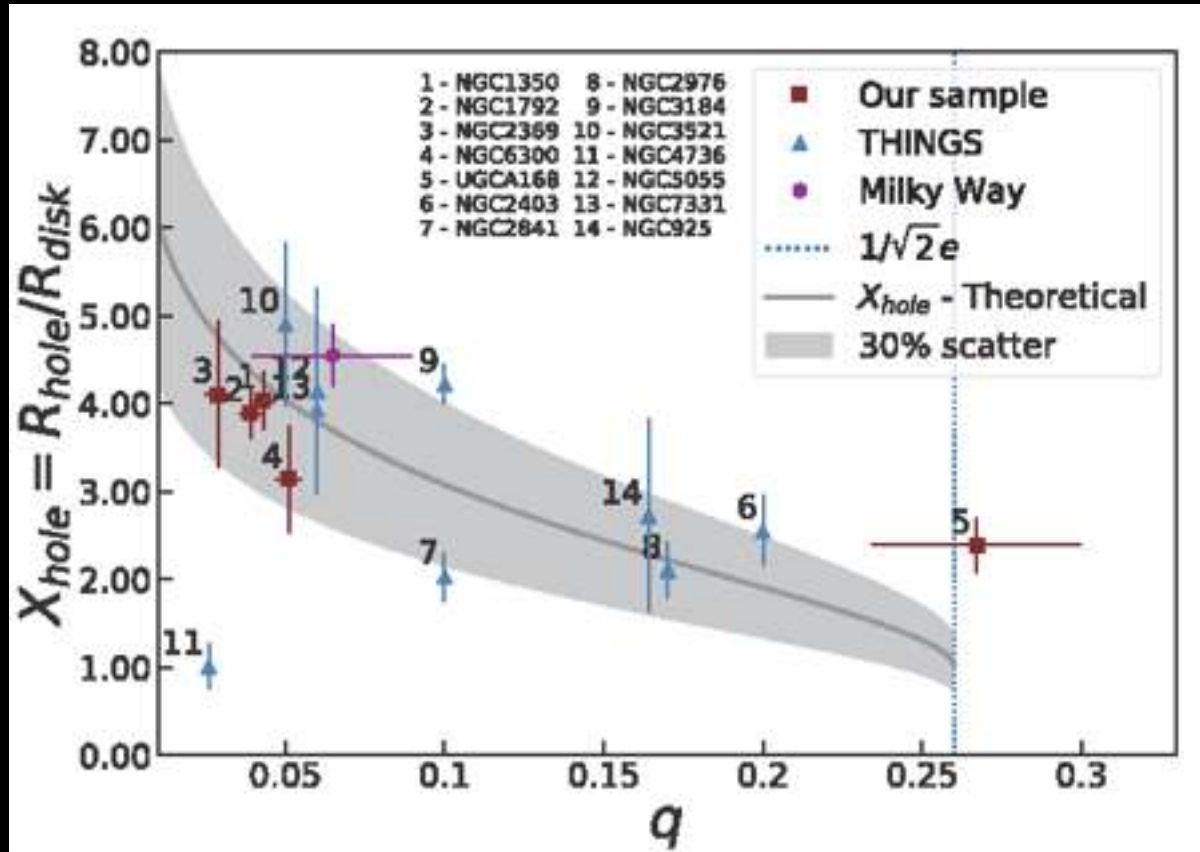
M_{HI} - HI mass; M - total baryonic mass

j - total specific baryonic AM

σ - dispersion velocity of the WNM

- The HI-deficient galaxies consistently follow the relation
- AM regulates f_{atm} in HI-deficient spirals

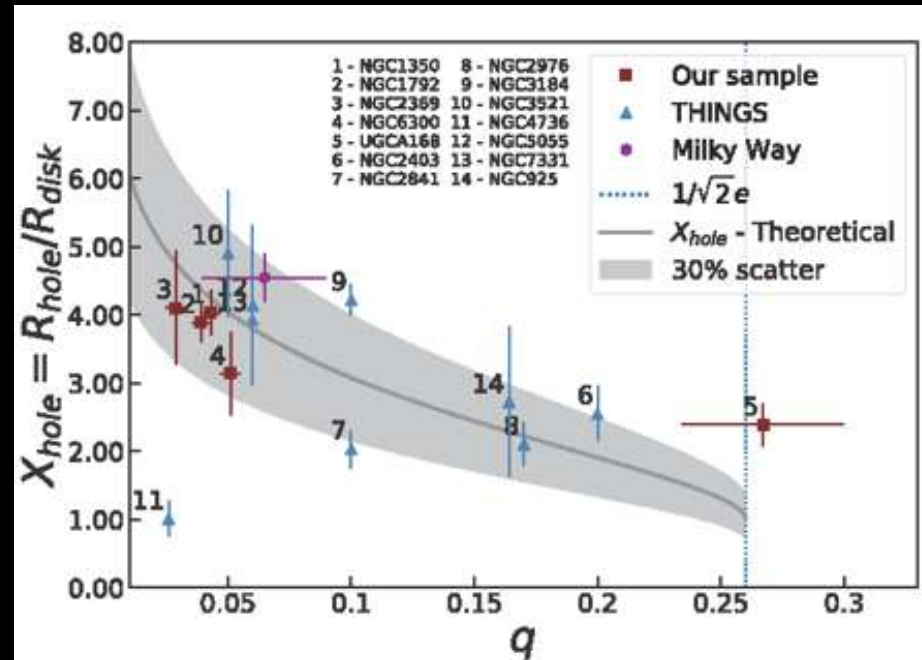
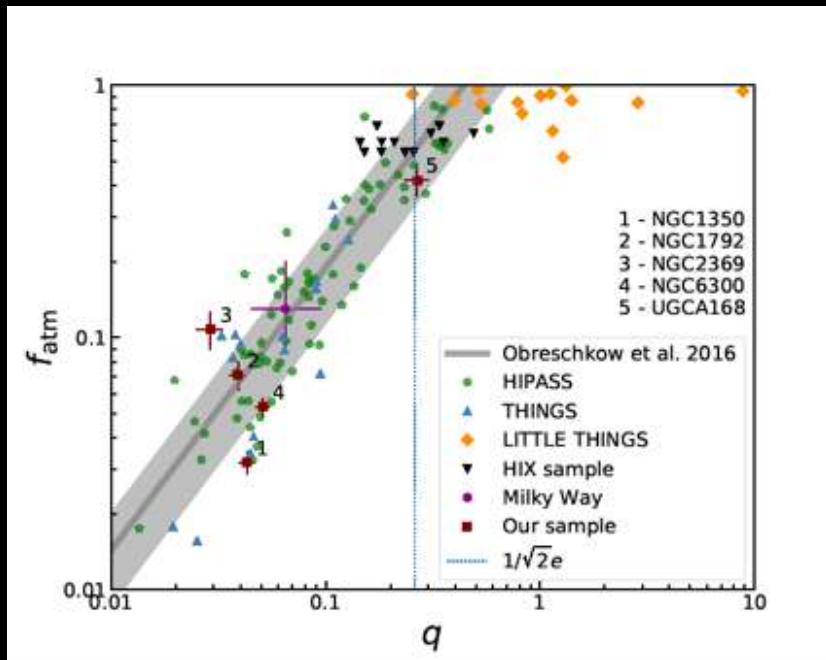
Results: The $X_{hole} - q$ relation



Murugesan et al. (*in prep*)

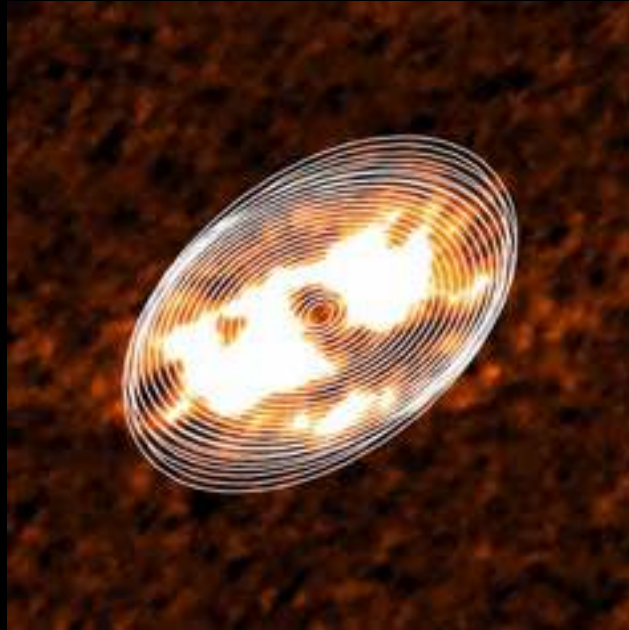
- First predicted by O16
- HI hole - regions dominated by non-atomic material
- $R_{hole} \sim$ radius at which HI begins to dominate over stellar+molecular material
- Low $q \rightarrow$ disc instabilities \rightarrow increased star formation in central regions \rightarrow larger hole
- Galaxies follow the model to within 30% scatter about the model

Conclusions



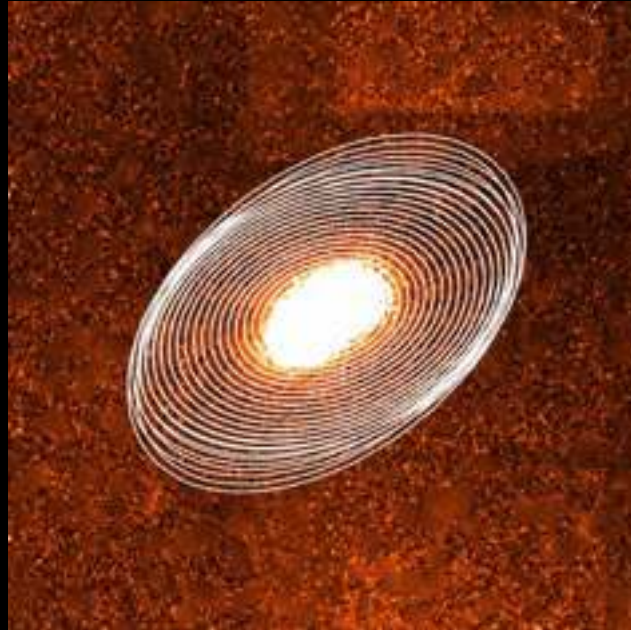
- Identified 6 HI-deficient galaxies from low density environments
- Galaxies consistently follow the $f_{atm} - q$ relation
- AM plays an important role in regulating atomic gas in disc galaxies
- Heuristic method to measure central HI hole sizes - galaxies follow $X_{hole} - q$ relation, as predicted by Obreschkow et al. (2016)
- AM, a fundamental parameter in influencing galaxy evolution

3D tilted ring fitting & calculating j



HI intensity map

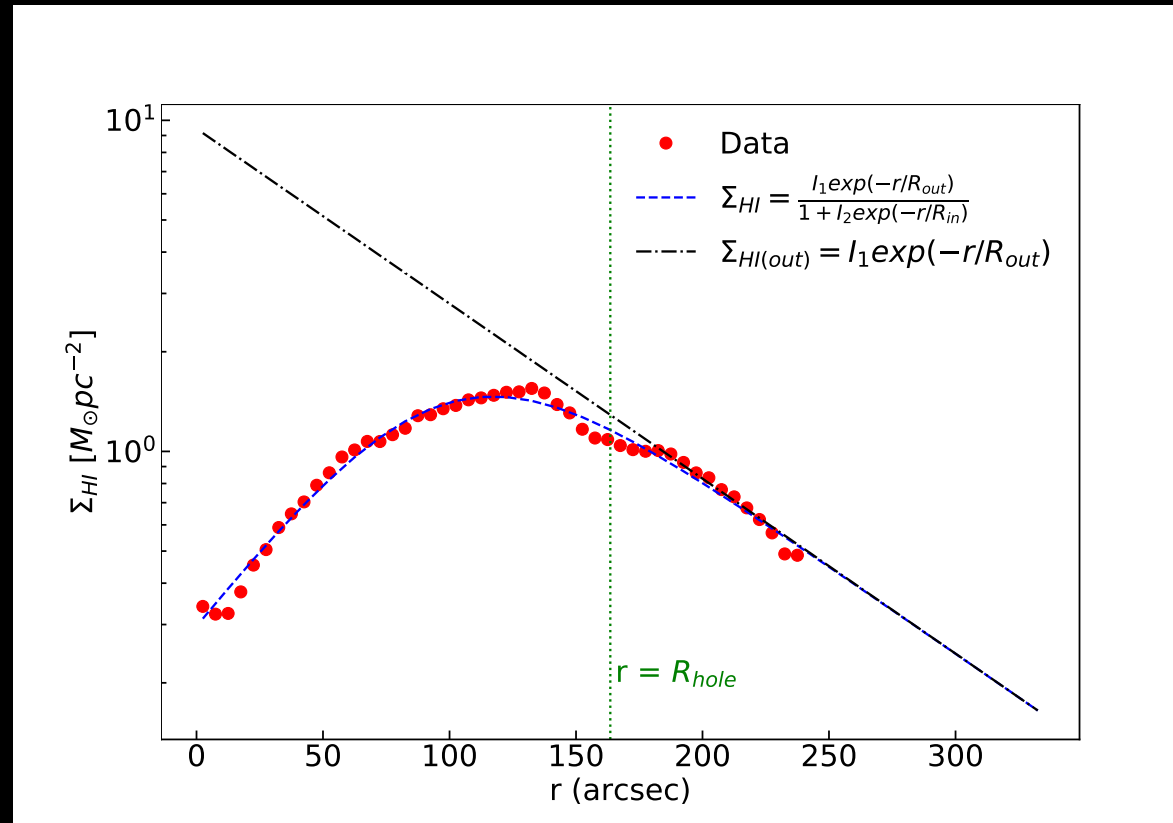
+



2MASS K_s - band image

$$\Rightarrow j = \frac{\sum (1.35M_{HI} + M_*) V_{\tau} r}{\sum (1.35M_{HI} + M_*)}$$

HI hole size estimation



Murugesan et al. (*in prep*)

Analytic models for X_{hole} in O16

Obreschkow et al. (2016)

Environment local density - Σ_5

Murugesan et al. (*in prep*)